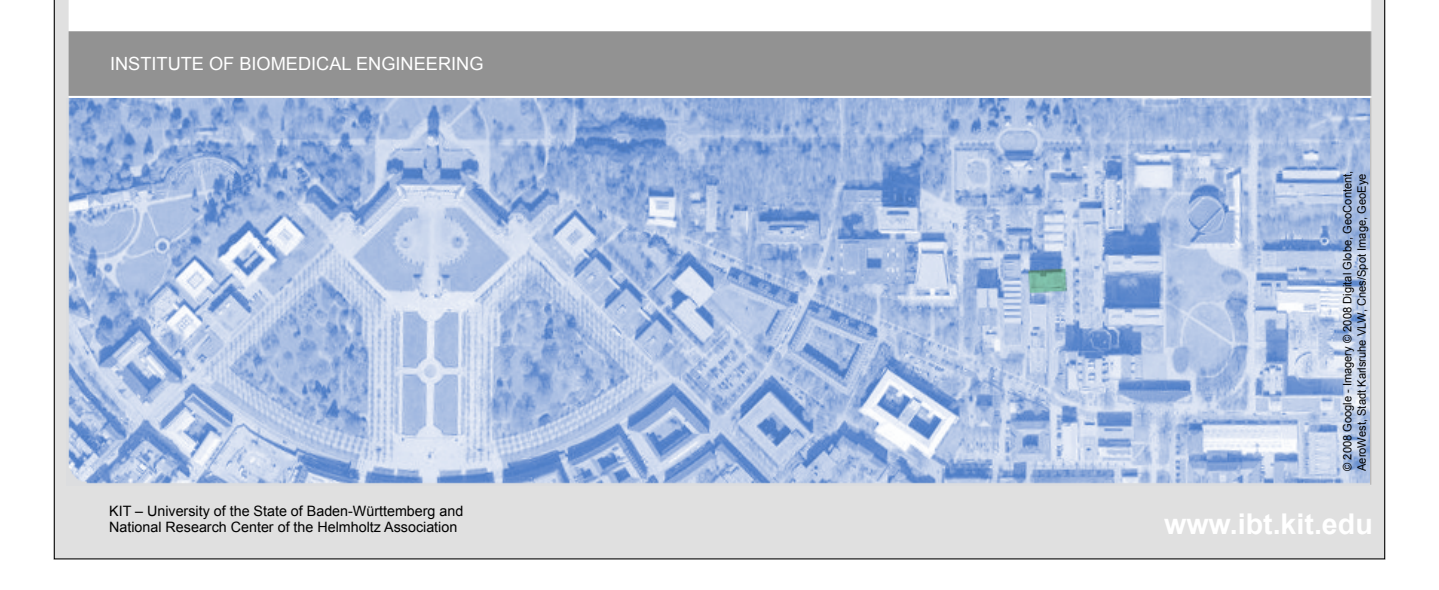


Bildgebende Verfahren in der Medizin Bildgebende Verfahren in der nuklear-medizinischen Diagnostik

Olaf Dössel

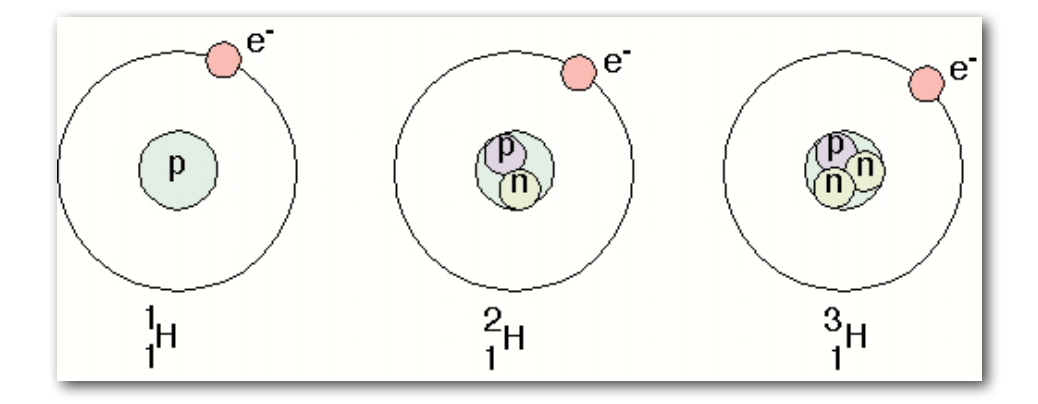


Bildgebende Verfahren in der nuklearmedizinischen Diagnostik

- Kernphysikalische Grundlagen
- Herstellung von Radionukliden
- Problemstellung in der Nuklearmedizin
- Nuklearmedizinische Messtechnik
- Planare Szintigraphie
- Single Photon Emission Computed Tomography SPECT
- Positronen Emissions Tomographie PET



Verschiedene Isotope des Elements Wasserstoff



A_X Z A: Massenzahl = Zahl der Nukleonen im Kern

X: Symbol des chemischen Elements

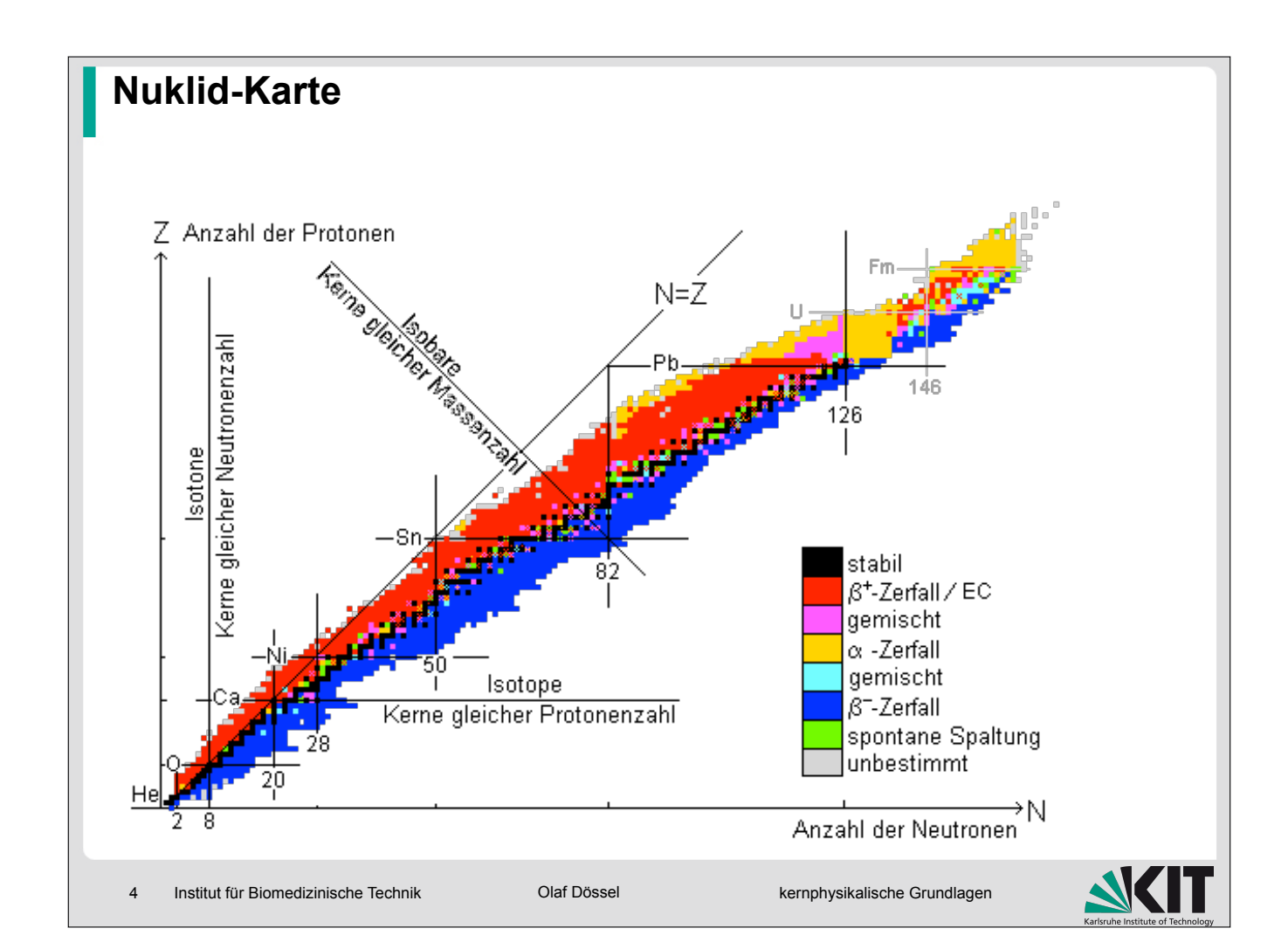
Z: Ordnungszahl = Zahl der Protonen im Kern

3 Institut für Biomedizinische Technik

Olaf Dössel

kernphysikalische Grundlagen





Ionisierende Strahlung

γ	Gammastrahlung	Photonen
β-, e-	Betastrahlung	Elektronen
β+, e +		Positronen
р		Protonen
n		Neutronen
α	Alphastrahlung	Heliumkerne (2 Protonen + 2 Neutronen)

5 Institut für Biomedizinische Technik

Olaf Dössel

kernphysikalische Grundlagen



Radioaktiver Zerfall

α - Zerfall	$^{226}_{88}$ Ra $\longrightarrow ^{222}_{86}$ Rn + $^{4}_{2}\alpha$ + γ
β Zerfall	$ \begin{array}{ccc} \stackrel{131}{53}J & \longrightarrow & \stackrel{131}{54}Xe + e^{-} + v + (\gamma) \\ & n & \longrightarrow & p + e^{-} + v \end{array} $
β+ - Zerfall	$ \begin{array}{ccc} & & & & \downarrow & \downarrow \\ & & & \downarrow & \downarrow \\ & & & \downarrow & \downarrow \\ & $
Elektroneneinfang (EC = Electron Capture)	$ \begin{array}{ccc} & & & & & & \\ & & & & & \\ & & & & \\ p + e & \longrightarrow & n \end{array} $
Isomerer Übergang (metastabile Nuklide)	⁹⁹ Tc ^m → ⁹⁹ Tc + γ
Spontane Spaltung	²³⁶ U → ⁹⁹ ₄₂ Mo + ¹³³ ₅₀ Sn + 4 ¹ ₀ n



Zerfallsgesetz

$$N(t) = N_0 \cdot e^{-\lambda t}$$

N(t) = Zahl der Nuklide zur Zeit t,

 N_0 = Zahl der Nuklide zur Zeit t = 0,

 λ = Zerfallskonstante.

$$T_{1/2} = \frac{ln2}{\lambda}$$

 $T_{1/2}$ = Halbwertszeit

7 Institut für Biomedizinische Technik

Olaf Dössel

kernphysikalische Grundlagen



Aktivität

Aktivität = Zahl der Zerfälle pro Zeit

$$A(t) = -\frac{dN}{dt} = \lambda N_0 \cdot e^{-\lambda t} = A_0 \cdot e^{-\lambda t}$$

Einheit: $\frac{\text{Zahl der Zerfälle}}{\text{Sekunde}} = \text{Becquerel} = \text{Bq}$

Frühere Einheit: Curie = Ci 1 Ci = 3,7 · 10¹⁰ Bq

Typische Aktivität in der nuklearmedizinischen Diagnostik 100 MBq bis 1000 MBq



Herstellung von Radionukliden

Kernspaltung	$^{235}_{92}U + ^{1}_{0}n \longrightarrow ^{236}_{92}U \longrightarrow ^{99}_{42}Mo + ^{133}_{50}Sn + 4^{0}_{0}n$
Neutronenbeschuss	$^{98}_{42}\text{Mo} + {}^{1}_{0}\text{n} \longrightarrow {}^{99}_{42}\text{Mo} + \gamma$ $^{98}_{42}\text{Mo}(n,\gamma) {}^{99}_{42}\text{Mo}$
Beschuss mit geladenen Teilchen z. B. am Zyklotron	$^{18}_{8}0 + p \longrightarrow ^{18}_{9}F + n$ $^{18}_{8}0(p,n)F^{18}_{9}$

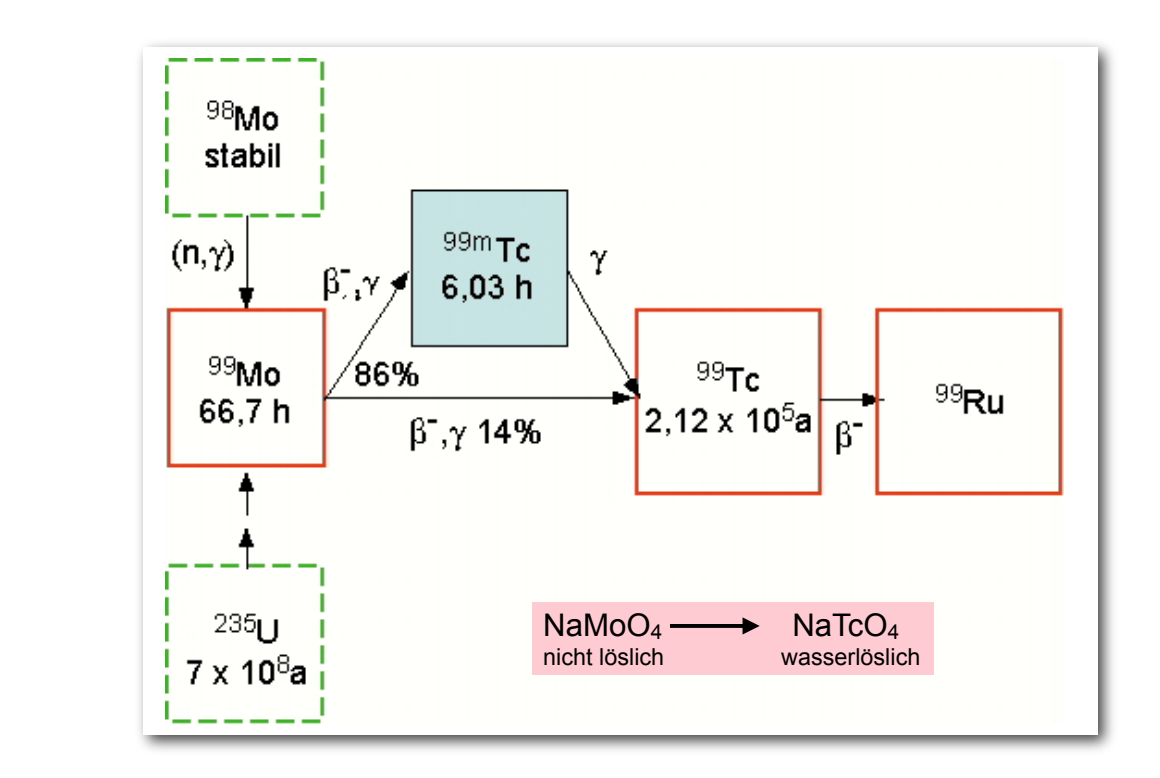
9 Institut für Biomedizinische Technik

Olaf Dössel

Herstellung von Radionukliden

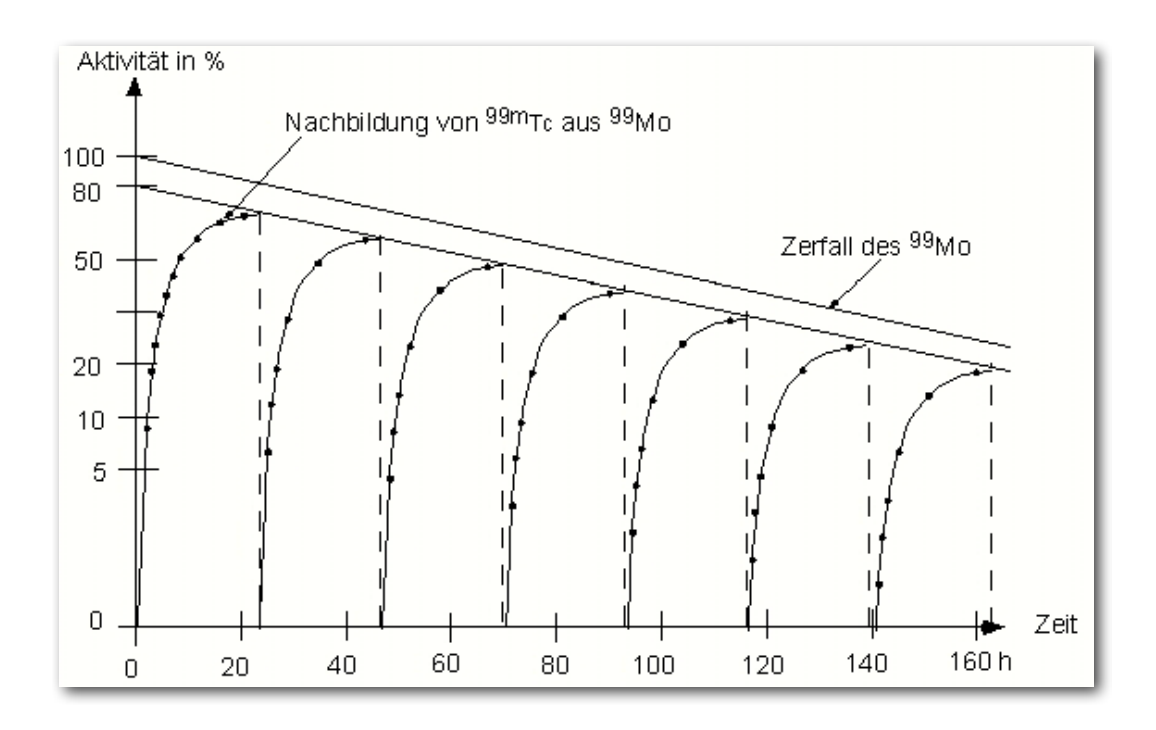


Radionuklidgenerator



SOLUTION

Aktivitätsverlauf des ^{99m}Technetiums bei Elutionen des Generators im 24-h-Abstand



Institut für Biomedizinische Technik

Olaf Dössel

Herstellung von Radionukliden



Die wichtigsten Radionuklide für diagnostische Anwendungen

Nuklid	γ- Energie keV	Halbwertszeit	Zerfallprozeß (MeV)	Herstellung
¹¹ C	(511)	20,3 min	β ⁺ (0,97 MeV)	Zyklotron
¹³ N	(511)	9,93 min	β ⁺ (1,2 MeV)	Zyklotron
¹⁵ O	(511)	124 s	β ⁺ (1,74 MeV)	Zyklotron
¹⁸ F	(511)	110 min	β ⁺ (0.635 MeV) EC	Zyklotron
⁶⁷ Ga	92 185 296 388	78 h	EC	Zyklotron



Nuklid	γ- Energie keV	Halbwertszeit	Zerfallprozeß (MeV)	Herstellung
^{81m} K r	190	13 s	IT	Generator 81Rb
^{99m} Tc	140	6,0 h	IT	Generator ⁹⁹ Mo
¹¹¹ In	173 247 23 (Cd-Kα)	3,8 d	EC	Zyklotron
123	159	13,3 h	EC	Zyklotron
¹³³ Xe	81 31 (Cd-Kα)	5,3 d	β-	Kernreaktor
^{195m} Au	262 68 (Cd-Kα)	30,5 s	IT	Generator ¹⁹⁵ Hg
²⁰¹ Tℓ	135 167 71 (Hg-Kα)	73 h	EC	Zyklotron

Institut für Biomedizinische Technik

13

Olaf Dössel

Herstellung von Radionukliden



Problemstellung in der nuklearmedizinischen Diagnostik

A = Aktivität pro Voxel

Gesucht sind Bilder $\overline{A}(x,y,z,t)$

Applikation des radioaktiven Isotops durch:

- Injektion
- Schlucken
- Inhalation

Verteilung im Körper durch:

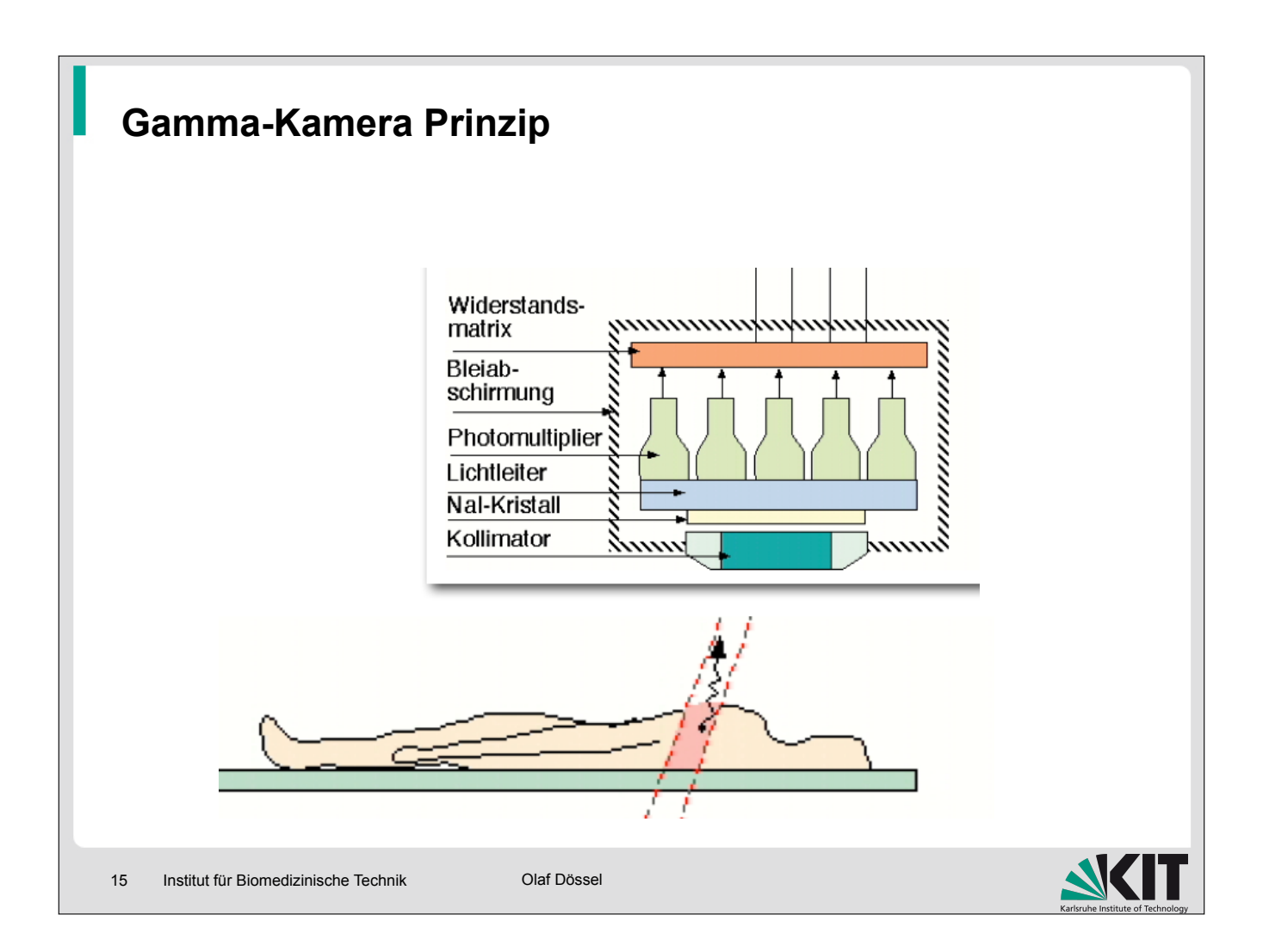
- "Mitspülen"
- Stoffwechsel



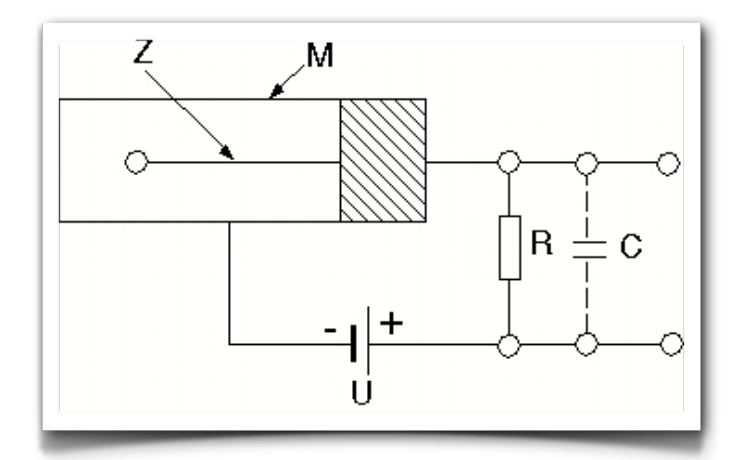
Tracer

Funktionsdiagnostik





Zählrohr Prinzipschaltbild



Z = Zähldraht (Anode)

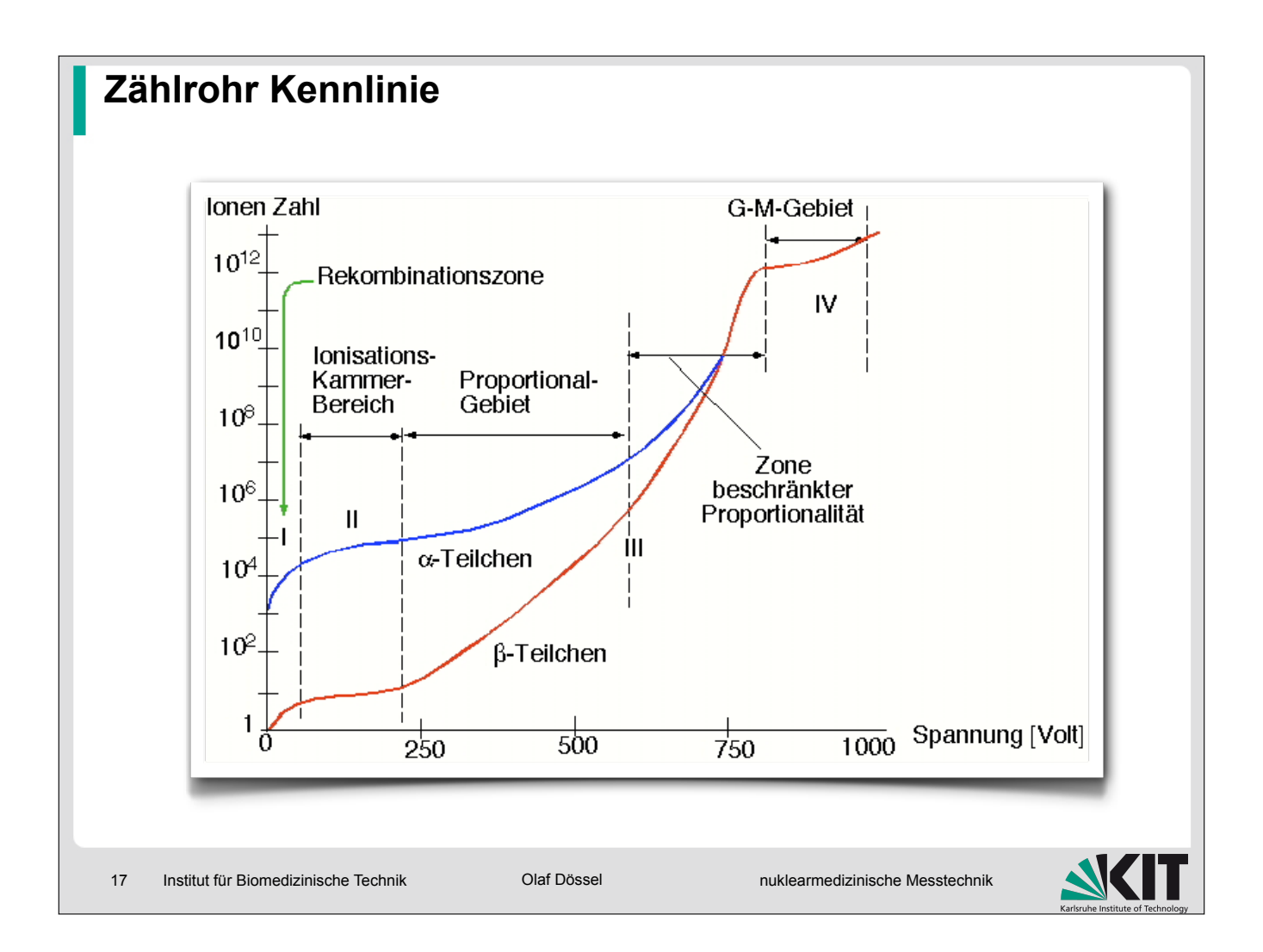
M = Zählrohrmantel (Kathode)

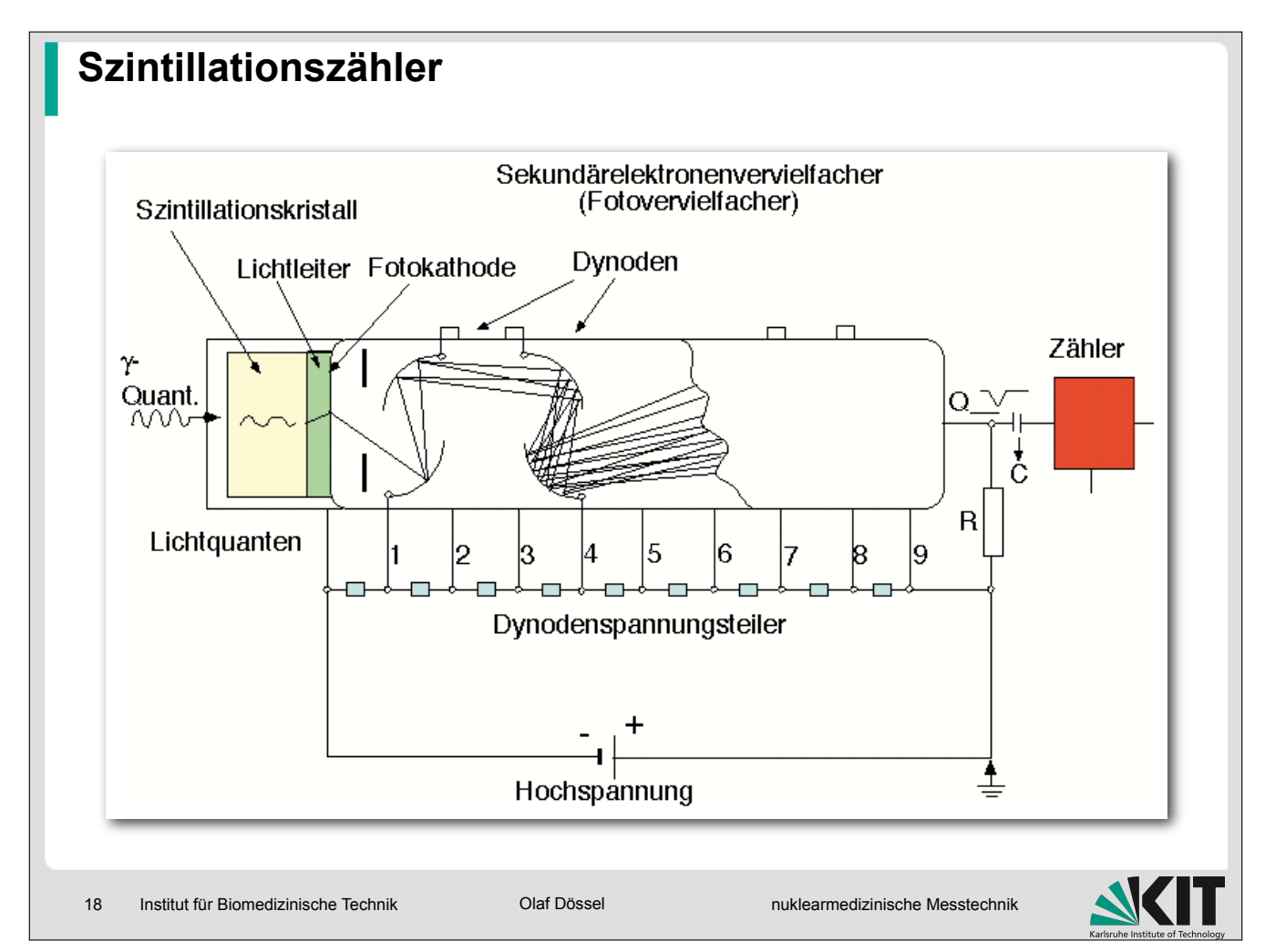
R = Arbeitswiderstand

C = Zählrohrkapazität

U = Zählrohrspannung







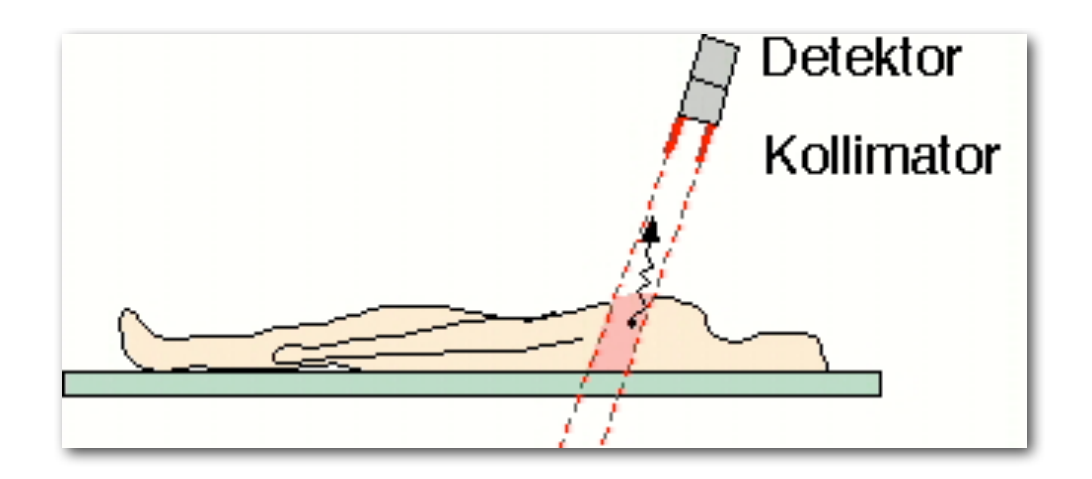
Szintillatormaterialien (BGO = $Bi_4Ge_3O_{12}$)

Nal(TI)	BGO = Bi ₄ Ge ₃ O ₁₂
3,67	7,13
11,53	82, 32,8
1,0	0,08
410	480
1,78	2,15
230	300
(100 keV)	400 (keV)
61	90
52	84
46	78
	3,67 11,53 1,0 410 1,78 230 (100 keV) 61 52

Nachweisbereich eines idealen Kollimator-Elements

Olaf Dössel

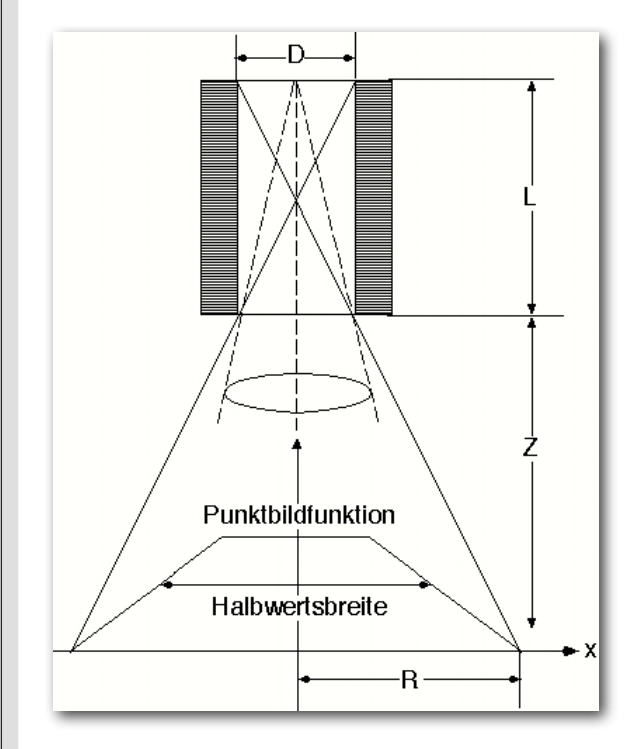
nuklearmedizinische Messtechnik





Institut für Biomedizinische Technik

Kollimator-Element



$$R = \frac{D}{L} \left(Z + \frac{L}{2} \right)$$

D = Durchmesser des Kollimators,

L = Länge des Kollimators

Z = Entfernung vom Kollimator zum Gamma-Strahler.

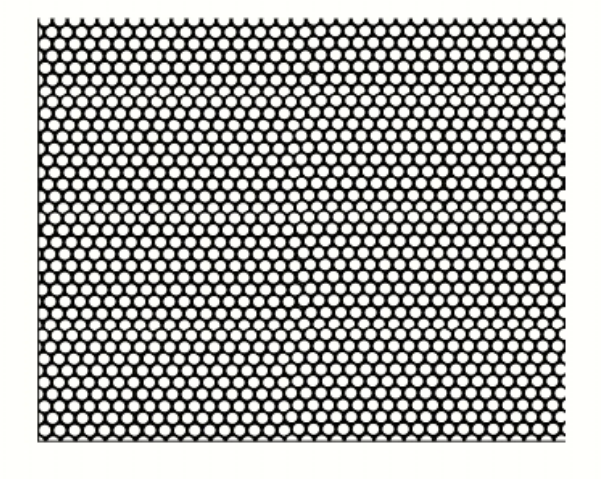
21 Institut für Biomedizinische Technik

Olaf Dössel

planare Szintigraphie



Kollimatoren für Kameras





Typische Kenngrößen von Kollimatoren

	LEAP	HRES	UHRES	HSENS
L [mm] D _{eff} [mm] ε (relativ)	24	24	36	24
	1,43	1,11	1,08	2,02
	1,0	0,64	0,28	2,05
HWB bei z = 0 mm [mm] bei z = 100 mm [mm]	4,2	4,0	3,9	4,6
	8,9	7,4	5,8	12,2

LEAP = Low-Energy All Purpose HRES = High-Resolution UHRES = Ultra-High Resolution HSENS = High Sensitivity ε = relative Empfindlickeit HWB = Halbwertsbreite der Punktbildfunktion

Institut für Biomedizinische Technik

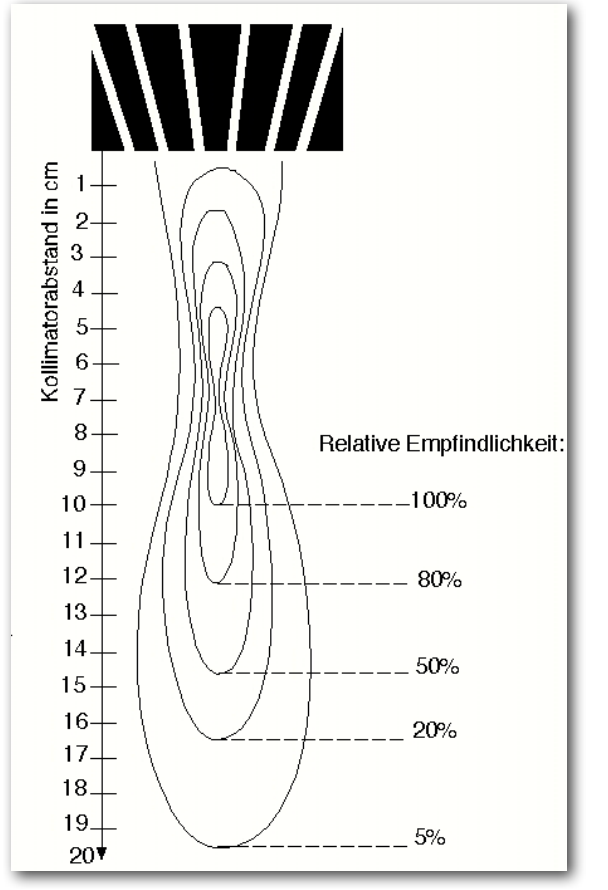
23

Olaf Dössel

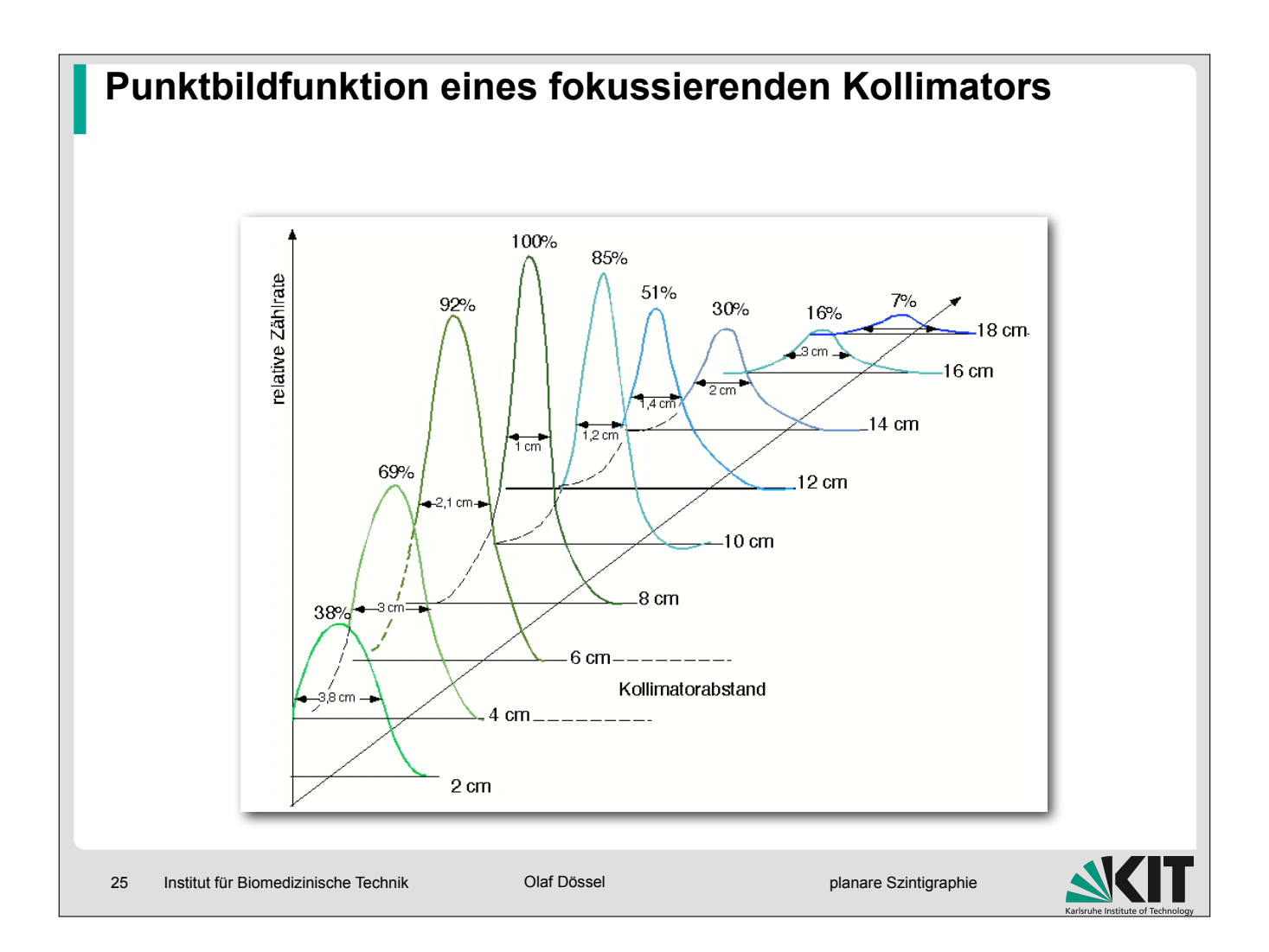
planare Szintigraphie

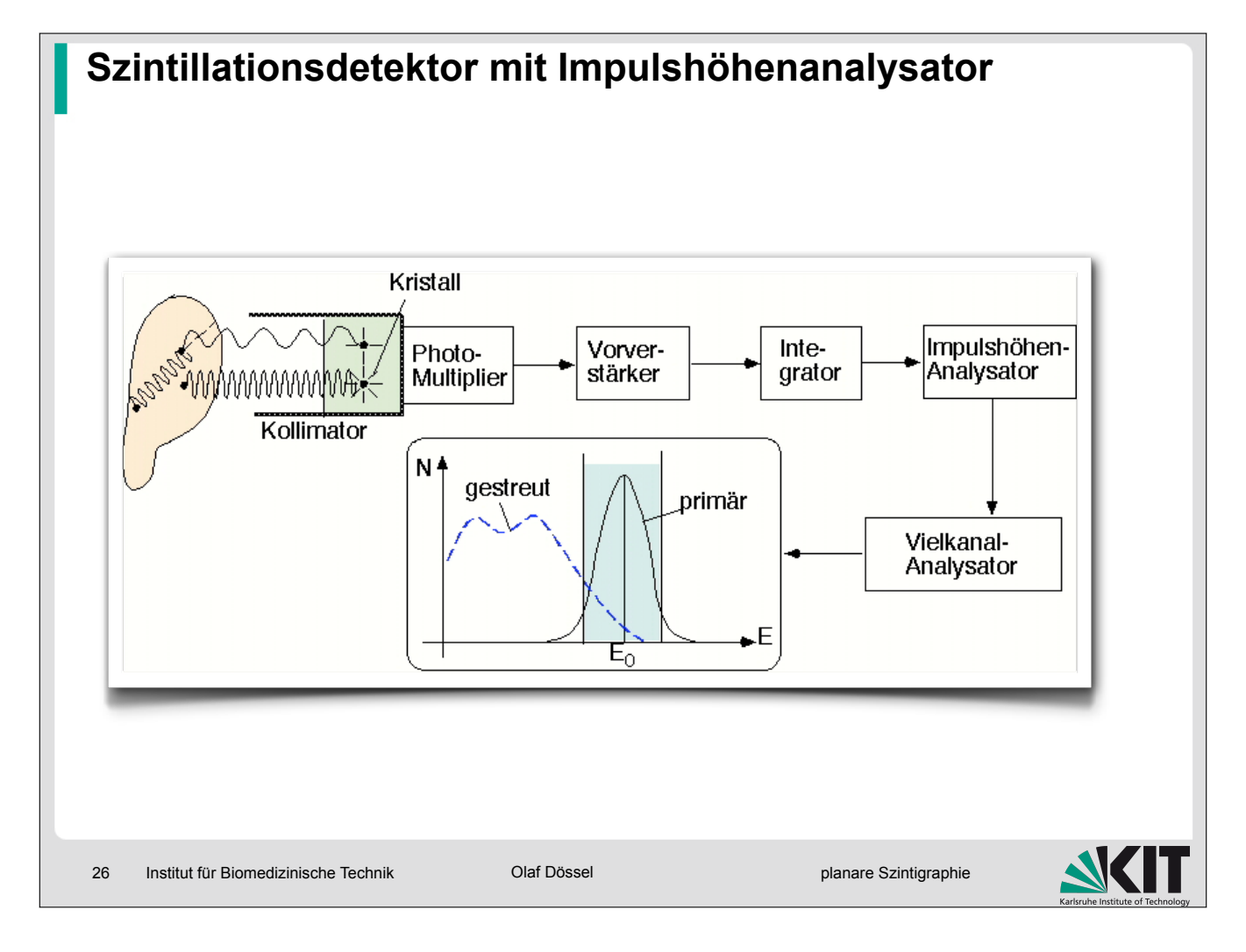


Isoimpulslinienverteilung eines fokussierenden Kollimators

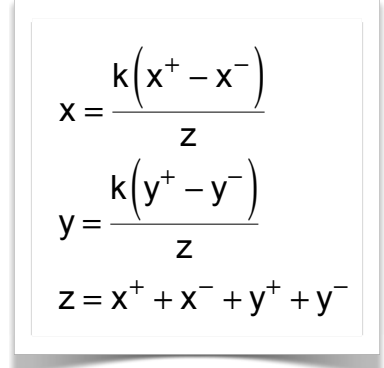


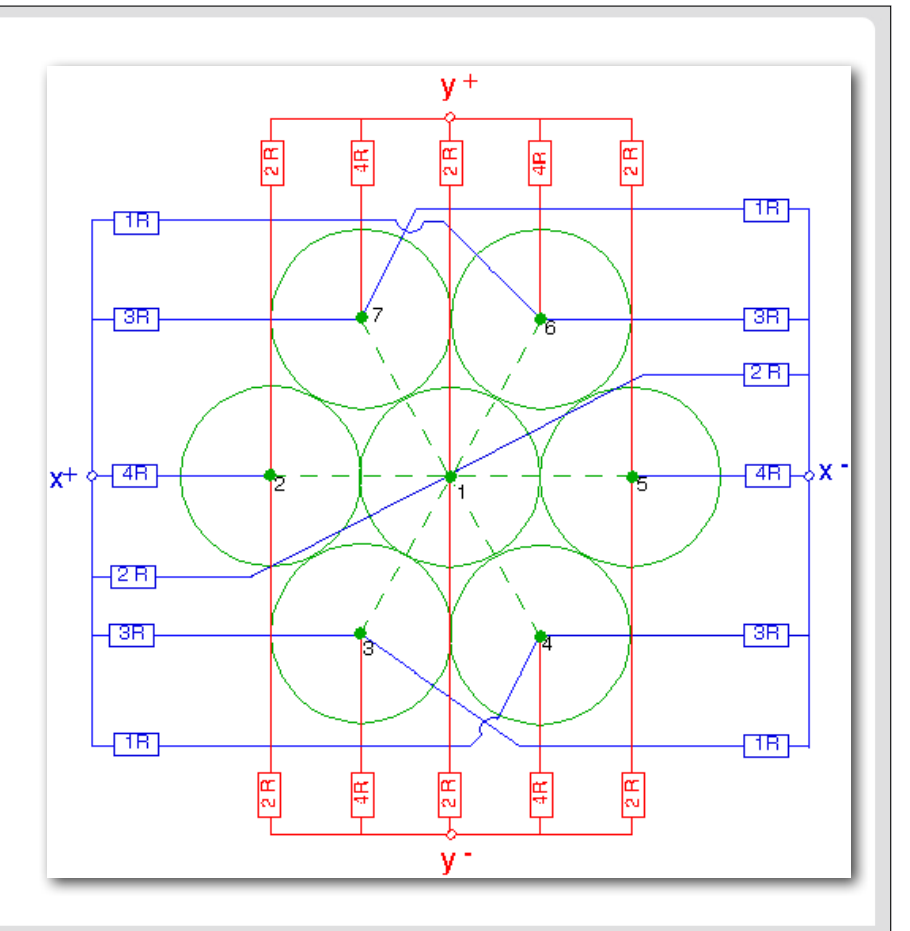






Ortsbestimmung bei der Gamma-Kamera





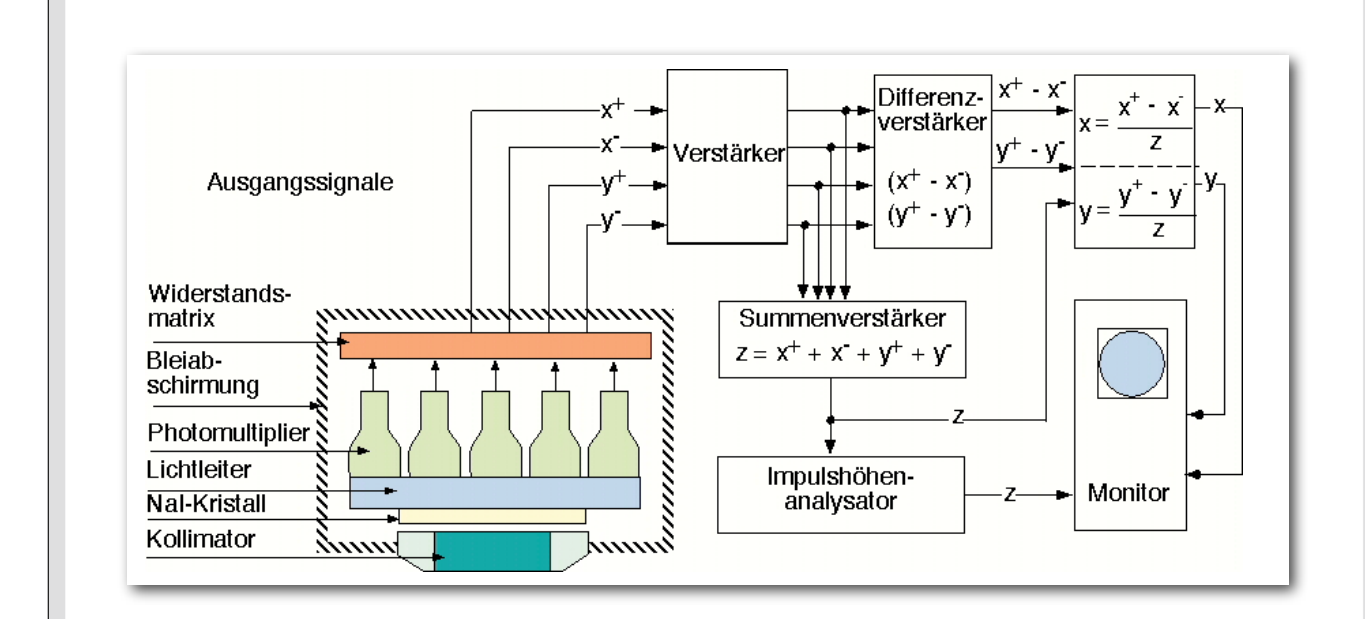
27 Institut für Biomedizinische Technik

Olaf Dössel

planare Szintigraphie

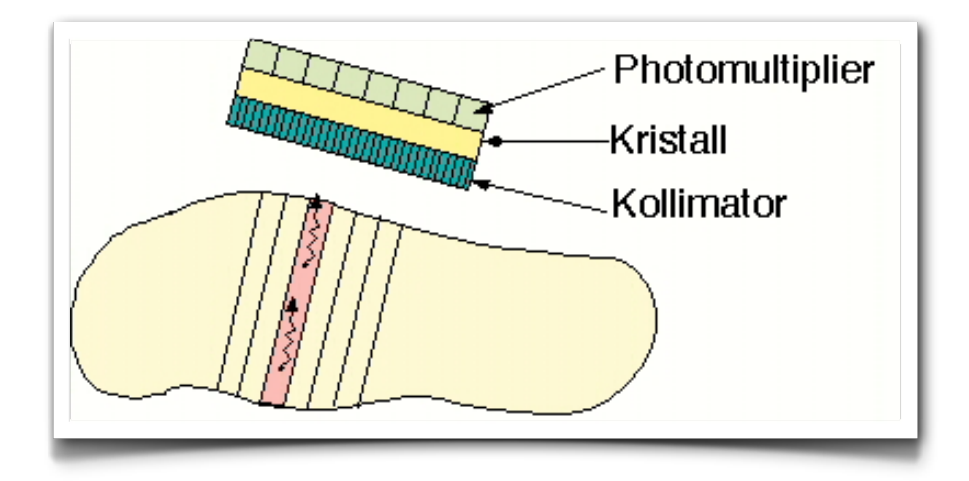


Gamma-Kamera (Anger-Kamera)



SOLUTION

Planare Szintigraphie



Die Zählrate in einem Bildpunkt entspricht dem Integral der Aktivität in einer Säule durch den Patienten

29 Institut für Biomedizinische Technik

Olaf Dössel

planare Szintigraphie

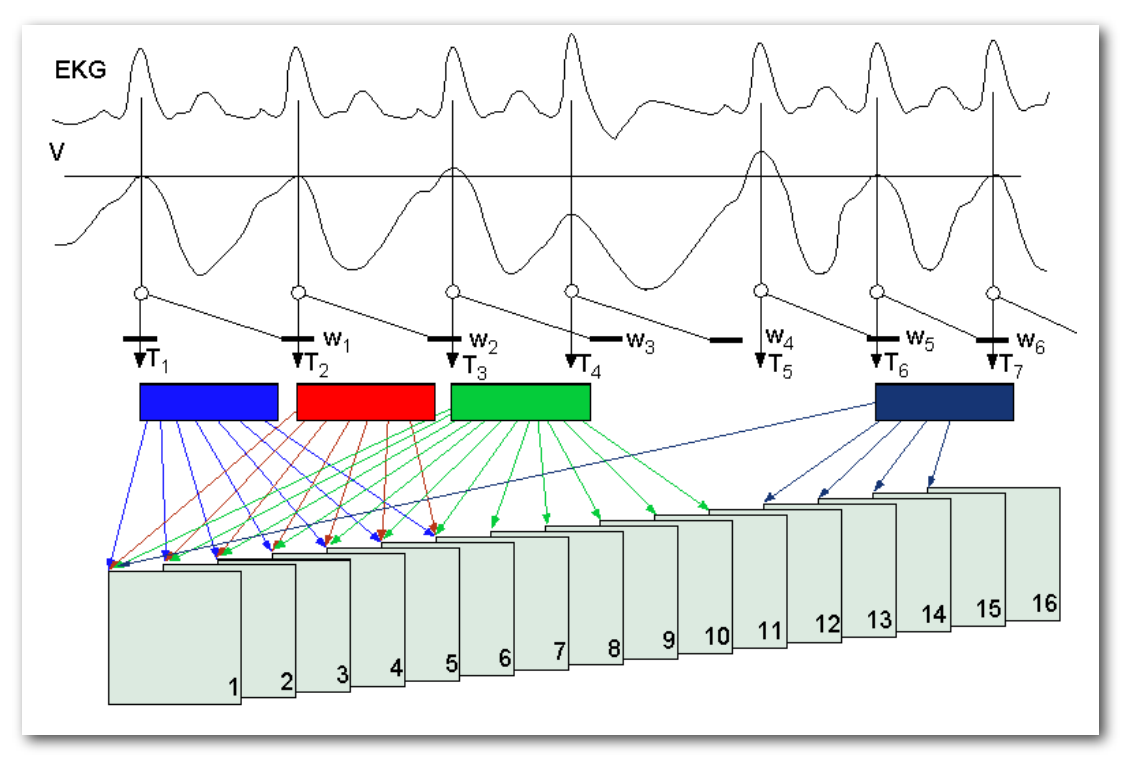


Anwendungen der planaren Szintigraphie

Organ	Diagnostische Fragestellung	Präparat
Herz	Septum-Defekte Schlagvolumen (ejection fraction)	²⁰¹ Th-Chlorid, ⁹⁹ Tc-Phosphat
Schilddrüse	Tumor, Überfunktion	¹³¹ J, ¹²³ J ⁹⁹ Tc-Pertechnetat
Lunge	Belüftung	¹³³ Xe, ⁹⁹ Tc-Makroalbumin
Niere	Durchblutung, Sekretion, Exkretion	⁹⁹ Tc-Chelate (z. B. Tc-DMSA, Tc-DTPA)
Knochen	Tumor	⁹⁹ Tc-Phosphate



MUGA-Technik Multigated Acquisition



Institut für Biomedizinische Technik

Olaf Dössel

planare Szintigraphie



Durchschnittliche Strahlenbelastung bei szintigraphischen Untersuchungen

Untersuchtes Organ	Radiopharmakon	Applizierte Aktivität [MBq]	Energiedosis/ Untersuchung kritisches Gonaden Organ [mGy] [mGy]		Ionendosisleistung in 1 m Abstand vom Patienten [pA/kg]
Schilddrüse	^{99m} Tc-Pertechnetat ¹³¹ Jodid	37 1,85	6 500	0,2 0,3	5 1,1
Hirn	^{99m} Tc-Pertechnetat (TcO ₄ -)	370	60	2	43
Lungen	^{99m} Tc-MAA	74	5	0,05	11,5
Leber/ Milz	^{99m} Tc-S-Kolloid ^{99m} Tc-S-Kolloid	111 111	12 3	0,15 0,15	14,3 14,3
Nieren	^{99m} Tc-DMSA	74	1	0,4	10
Knochen	^{99m} Tc-DPD	444	5	3	51,6



Ganzkörper Szintigramm, Aufnahme



SMV GmbH; Frankfurt am Main

Institut für Biomedizinische Technik

Olaf Dössel

planare Szintigraphie



Ganzkörper Szintigramm, ventral/dorsal



SMV GmbH; Frankfurt am Main



Single Photon Emission Computed Tomography

Messsignal in der Nuklearmedizin

$$S = \int A(x,y)dI$$

Zählrate, korrigiert auf t=0, ev. korrigiert um Raumwinkel

Messsignal in der Röntgentechnik

$$\ln\left(\frac{J_0}{J}\right) = \int \mu(x,y) dI$$

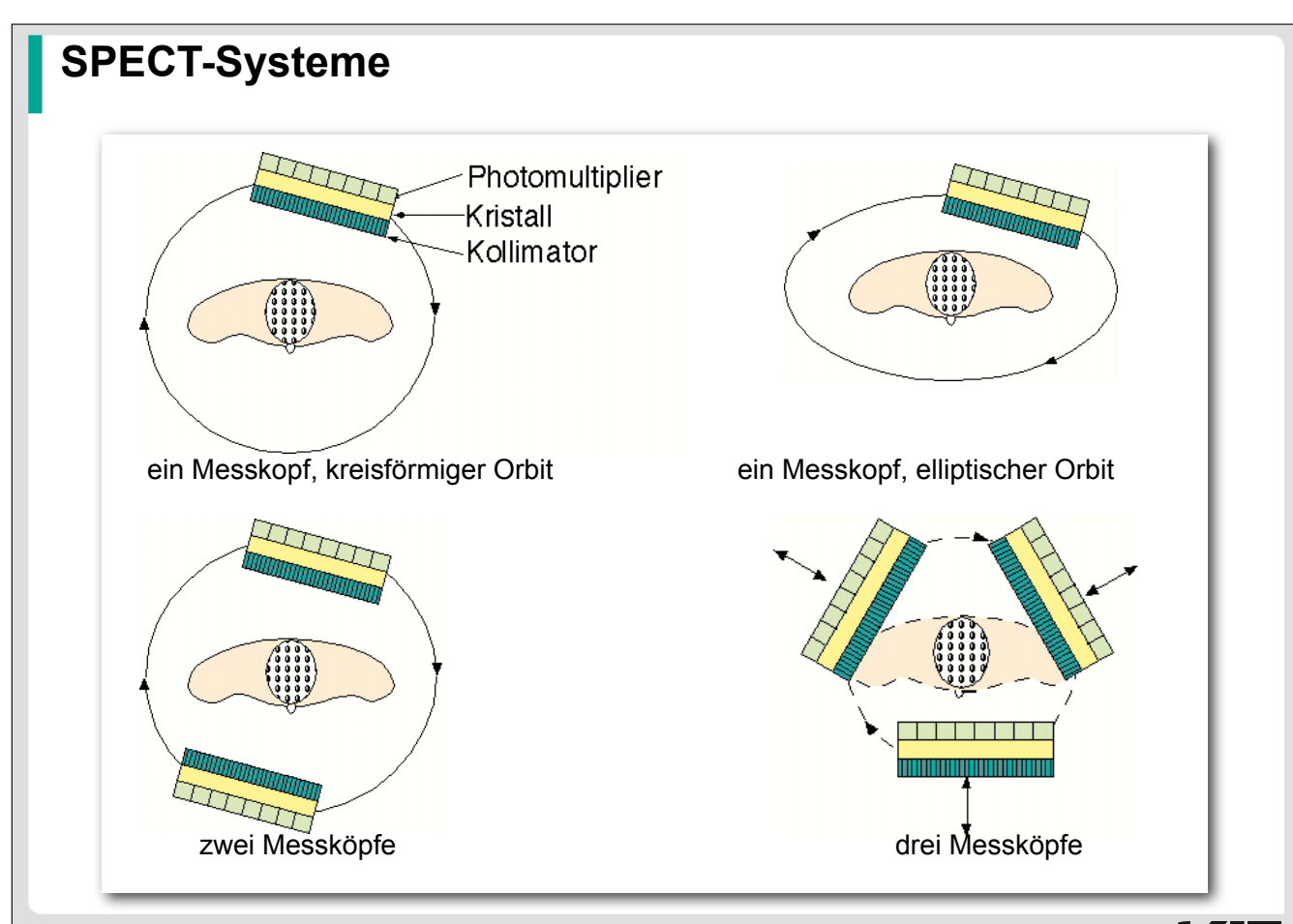
- gleiche Algorithmen der Tomographie
- unterschiedliche Auflösung ("Empfindlichkeitskeule" ← Nadelstrahl)
- unterschiedliche Signal-Statistik

5 Institut für Biomedizinische Technik

Olaf Dössel

SPECT





Abbildungsfehler

- Kollimatoren messen keine echten Linienintegrale.
- Gamma-Quanten können auf ihrem Weg von der Quelle zum Detektor absorbiert werden.
- Trotz des Impulshöhenanalysators können gestreute Quanten die Messsignale verfälschen.

Institut für Biomedizinische Technik

Olaf Dössel

SPECT



Prinzip der vereinfachten Absorptionskorrektur

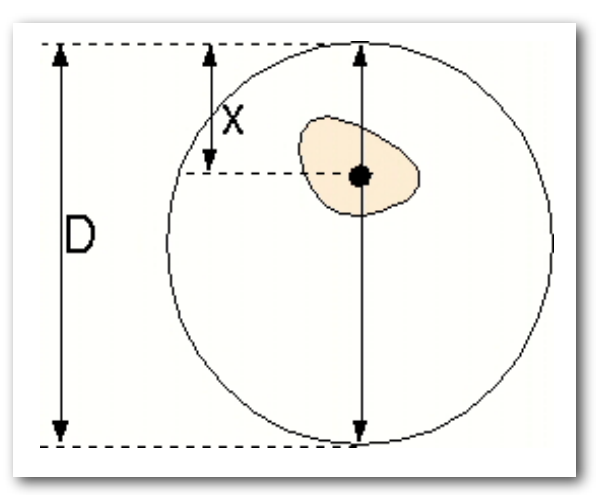
Messsignal anterior:

$$S_A = k \cdot A \cdot e^{-\mu x}$$

Messsignal posterior:

$$S_D = k \cdot A \cdot e^{-\mu \cdot (D-x)}$$

k = Kalibrierfaktor A = Aktivität am Ort x μ = mittlerer Schwächungskoeffizient des Gewebes



Geometrisches Mittel:

$$S_{GM} = \sqrt{S_A \cdot S_P} \, = k \cdot A \cdot e^{-\mu D/\, 2}$$

Messung von $\mu \cdot D$ durch eine Transmissionsmessung:

$$ln\left(\frac{J_0}{J}\right) = \mu \cdot D$$

Neue Entwicklungen

Neue Rekonstruktionsalgorithmen:

Maximum Likelihood Expectation Maximization MLEM Ordered Subset Expectation Maximization OSEM Bessere Absorptionskorrektur

Neue Detektoren:

Position Sensitive Photomultipliers PSPMT Photodiodes

Direct Conversion Semiconductor Detectors

Neue Kollimatoren:

Pinhole-Collimator

39 Institut für Biomedizinische Technik

Olaf Dössel

SPECT



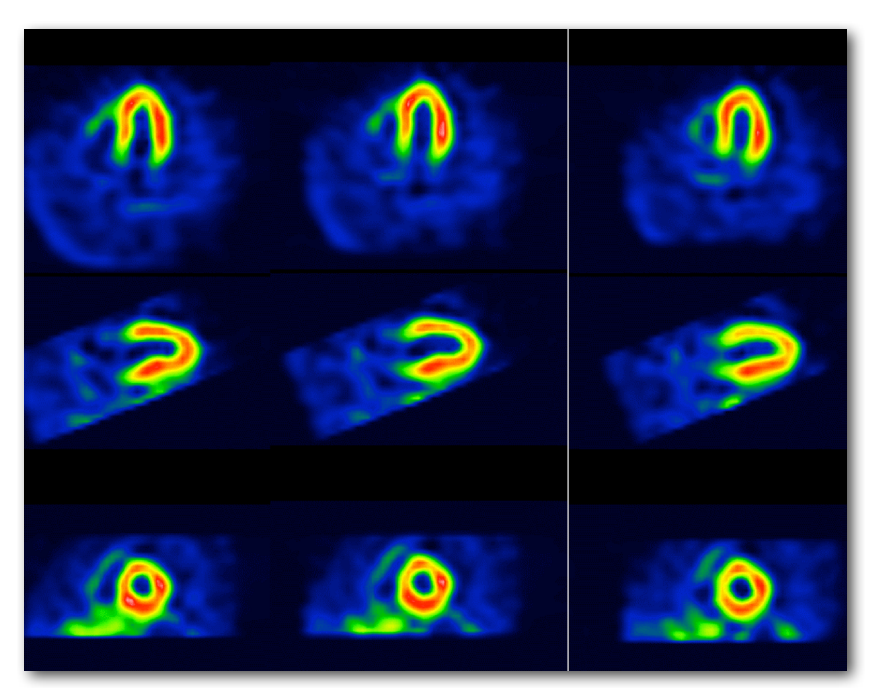
SPECT vom Herz, Aufnahme



SMV GmbH; Frankfurt am Main



SPECT vom Herz, rekonstruierte Schnittbilder



SMV GmbH; Frankfurt am Main

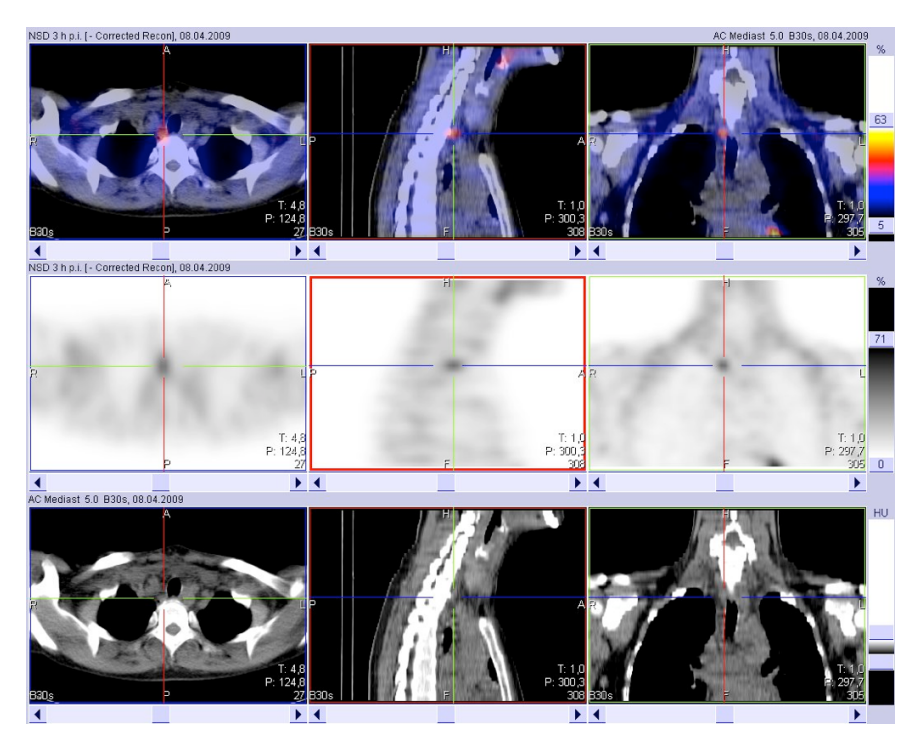
41 Institut für Biomedizinische Technik

Olaf Dössel

SPECT



SPECT-CT



Quelle: Kristin Kötz und Henrik Botterweck



Positronen - Emissions - Tomographie

Erzeugung des Positrons:

z.B.

$$^{11}_{6}C \longrightarrow ^{11}_{5}B + e^{+} + v$$

$$p \longrightarrow n + e^+ + v$$

Andere interessante Isotope:

43 Institut für Biomedizinische Technik

Olaf Dössel

PET



Annihilation von Positron und Elektron

$$\frac{\beta_{\odot}}{\oplus_{\beta^{+}}} \Rightarrow \frac{1}{\gamma_{1},\gamma_{1}}$$

$$E = mc^2$$
 \longrightarrow $E_{\gamma} = 511 \text{ keV}$



Maximale Wege von Positronen vor der Annihilation

¹⁸ F	2mm
11C	4mm
13 N	5mm
15O	8mm

Typische Schwankungsbreite des Winkels zwischen beiden Gamma-Quanten

 $180^{\circ} \pm 0.3^{\circ}$

45 Institut für Biomedizinische Technik

Olaf Dössel

PET



PET Nuklide

	HWZ	Emax	Rmax	Ravg
	(min)	(MeV)	(mmH ₂ O)	(mmH ₂ O)
11 _C	20,40	0,97	5,0	0,3
13 _N	9,90	1,19	5,4	1,4
15 _O	2,05	1,72	8,2	1,5
18 _F	109,70	0,64	2,4	0,2

S. Ziegler, TU München



Herstellung der Isotope: Beschuss von Targets mit Protonen aus einem Synchrotron

 $^{11}B(p,n)^{11}C$ $^{16}O(p,\alpha)^{13}N$, $^{15}N(p,n)^{15}O,$ $^{18}O(p,n)^{18}F$

Typische Tracer:

(18F)-2 - Desoxy-D-Glucose (FDG)

11C - Glucose

18**O** - Wasser

C¹⁵O₂ - Kohlendioxid

¹³NH₃ - Ammoniak

11**C** - Palmitinsäure (CPA)

¹¹C Acetat

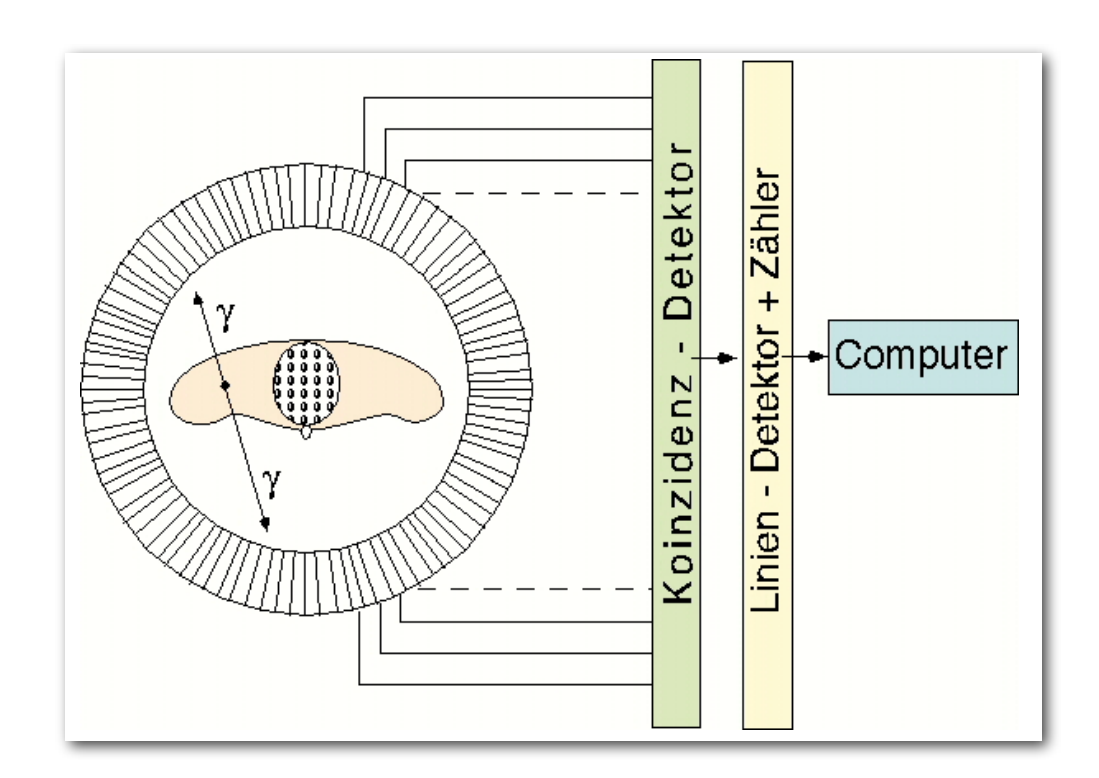
Institut für Biomedizinische Technik

Olaf Dössel

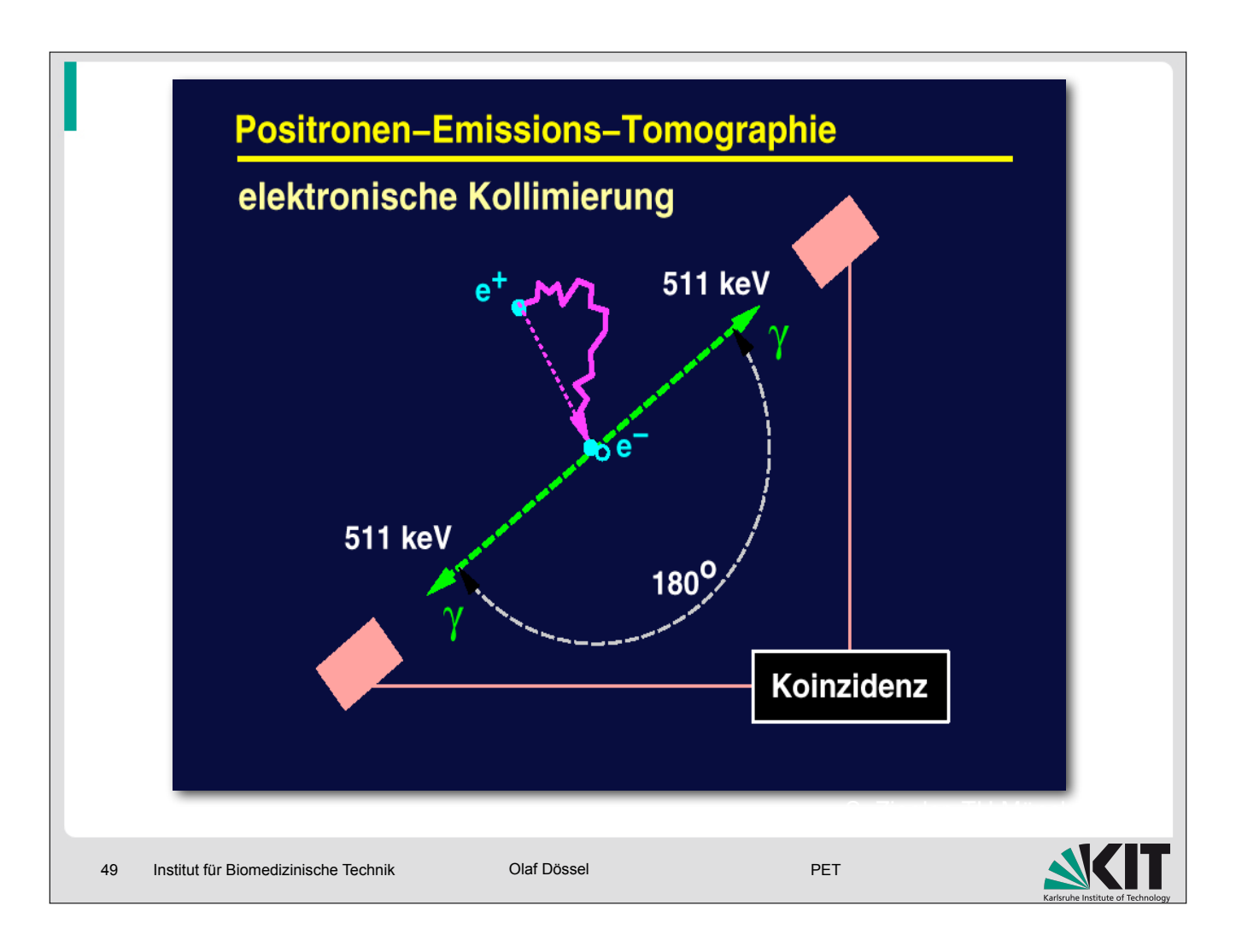
PET

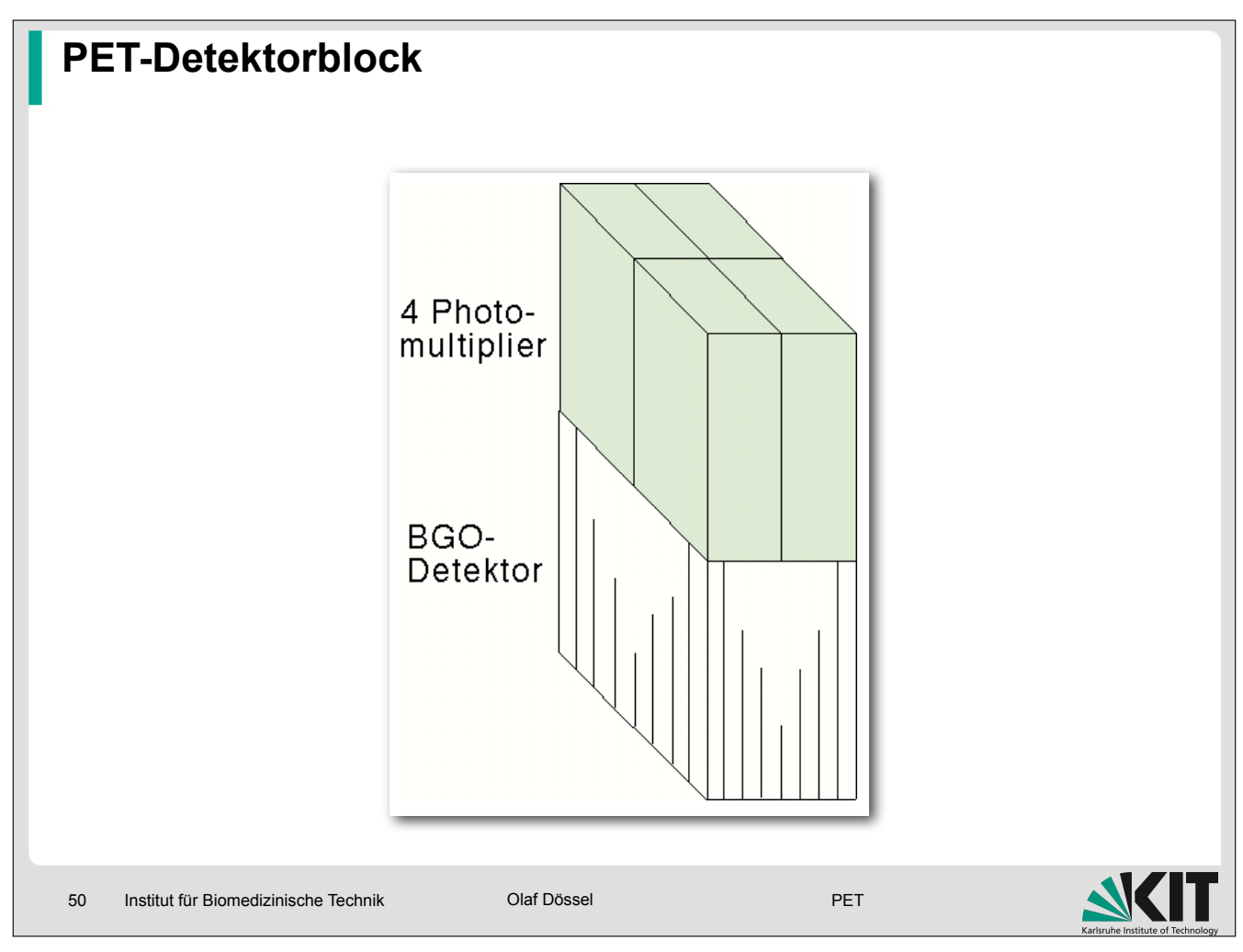


PET-System

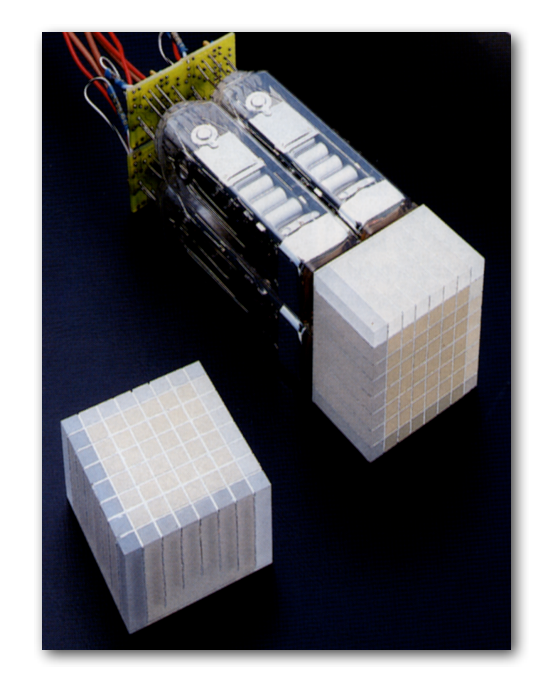


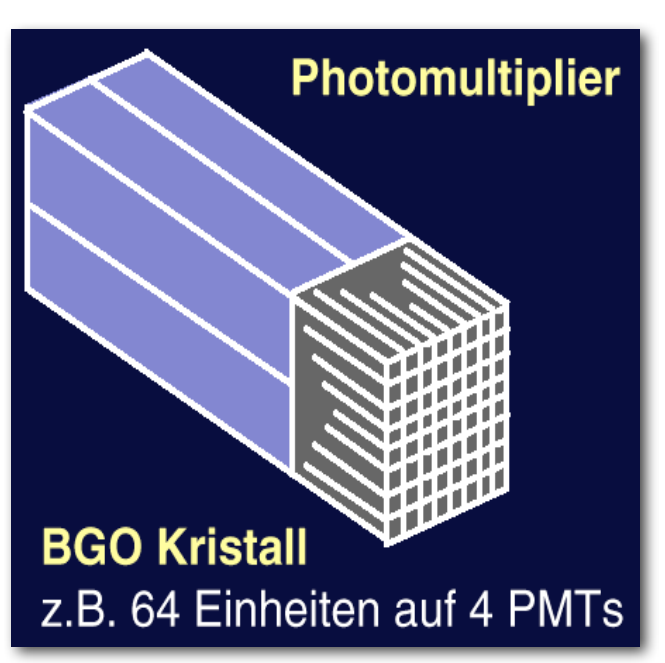






PET Block-Detektor Varianten





S. Ziegler, TU München

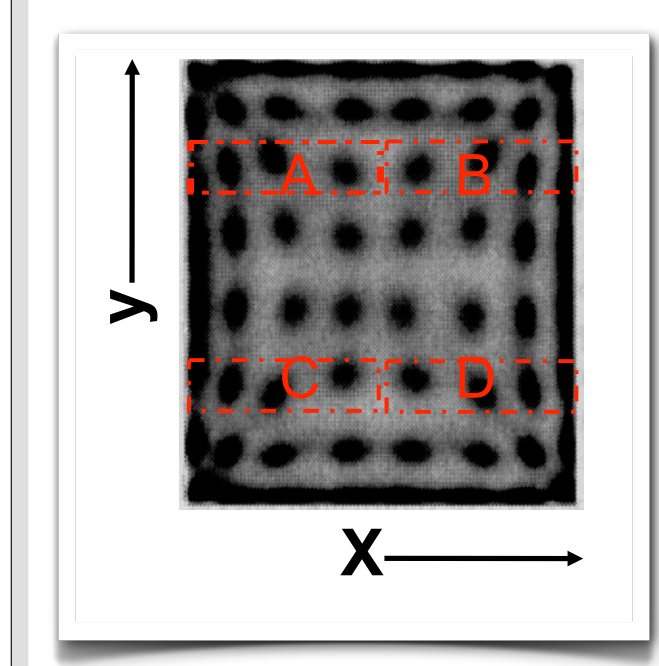
51 Institut für Biomedizinische Technik

Olaf Dössel

PET



PET Block-Detektor Kristall-Identifikation

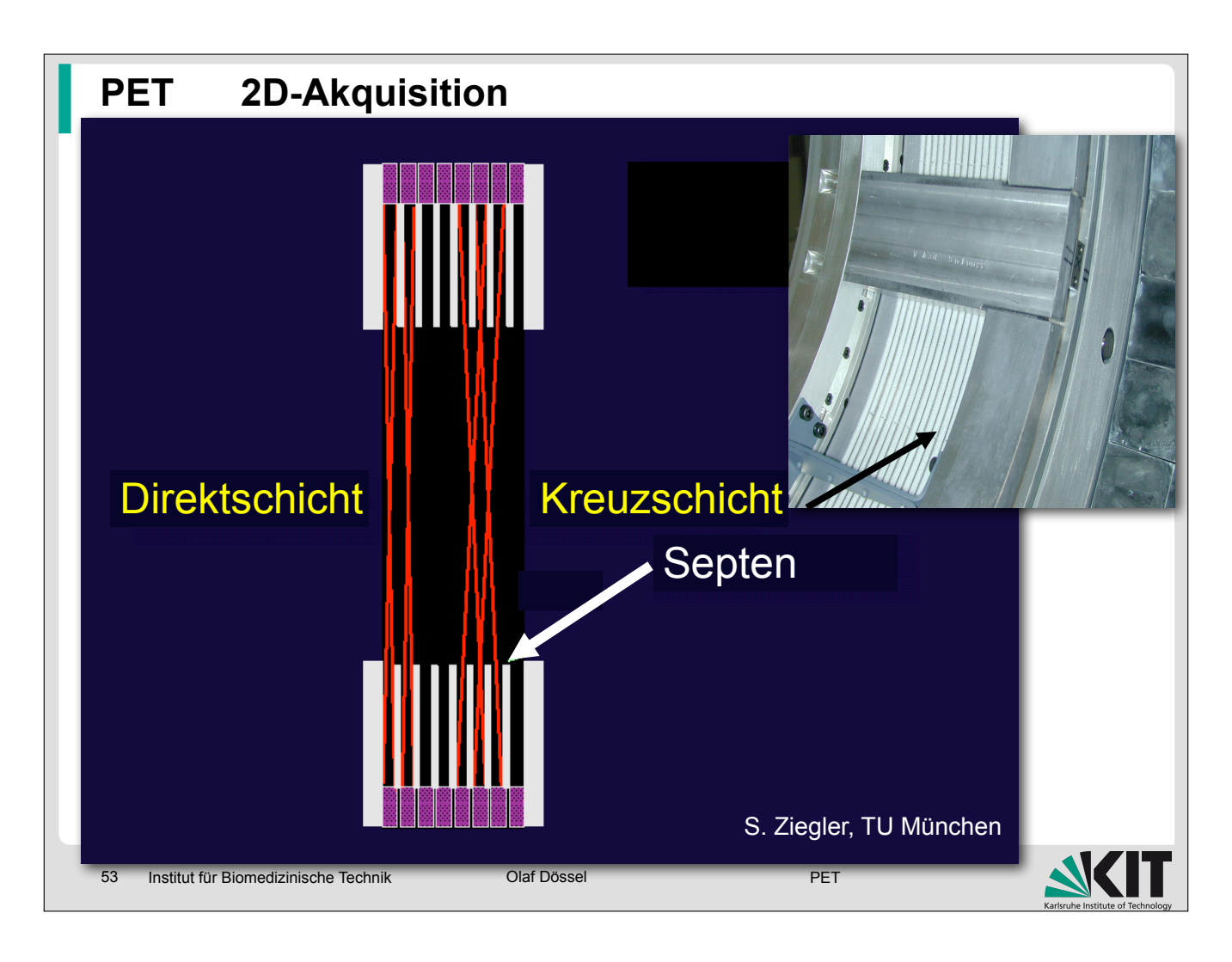


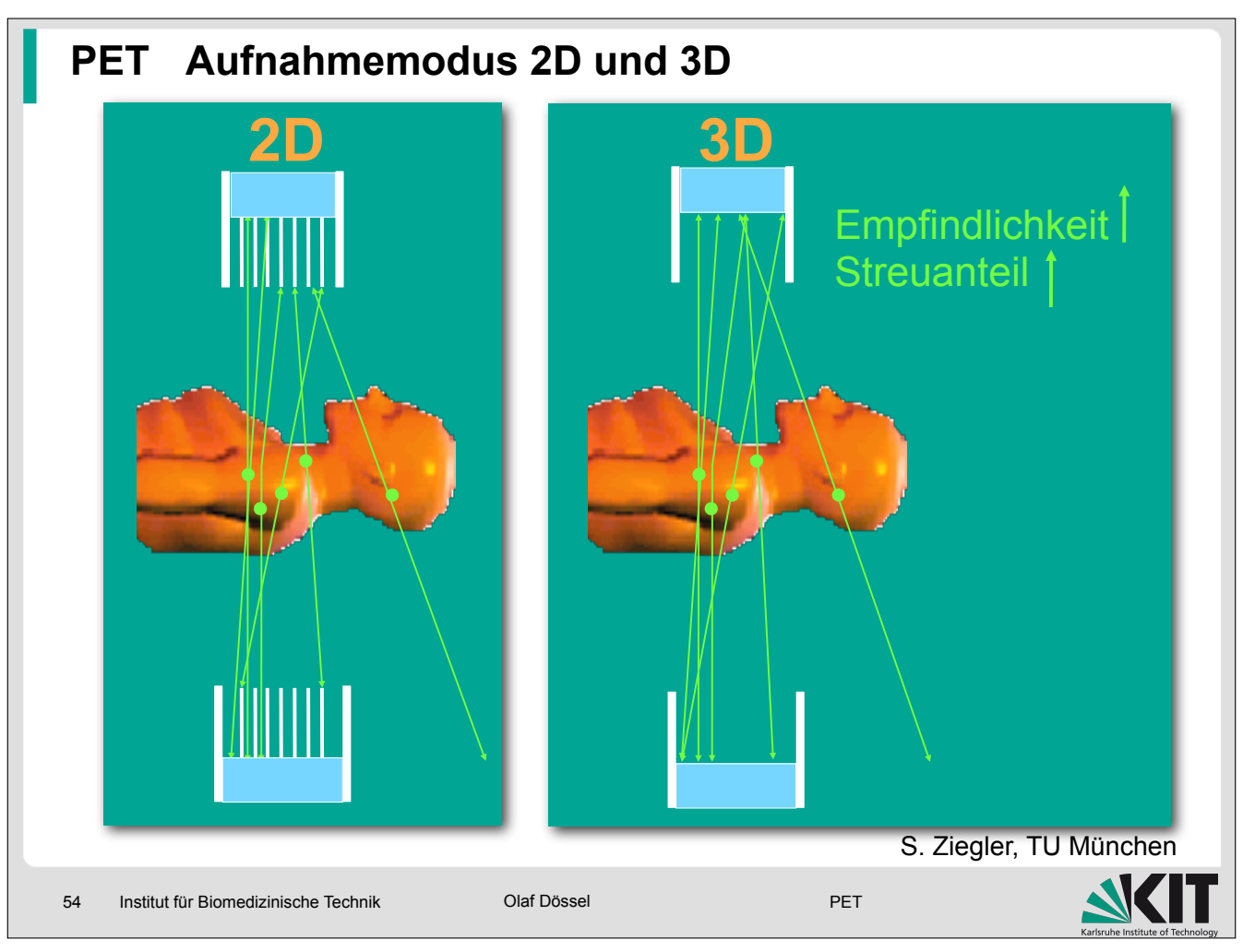
$$\mathbf{X} = \frac{(\mathsf{B} + \mathsf{D}) - (\mathsf{A} + \mathsf{C})}{(\mathsf{A} + \mathsf{B} + \mathsf{C} + \mathsf{D})}$$

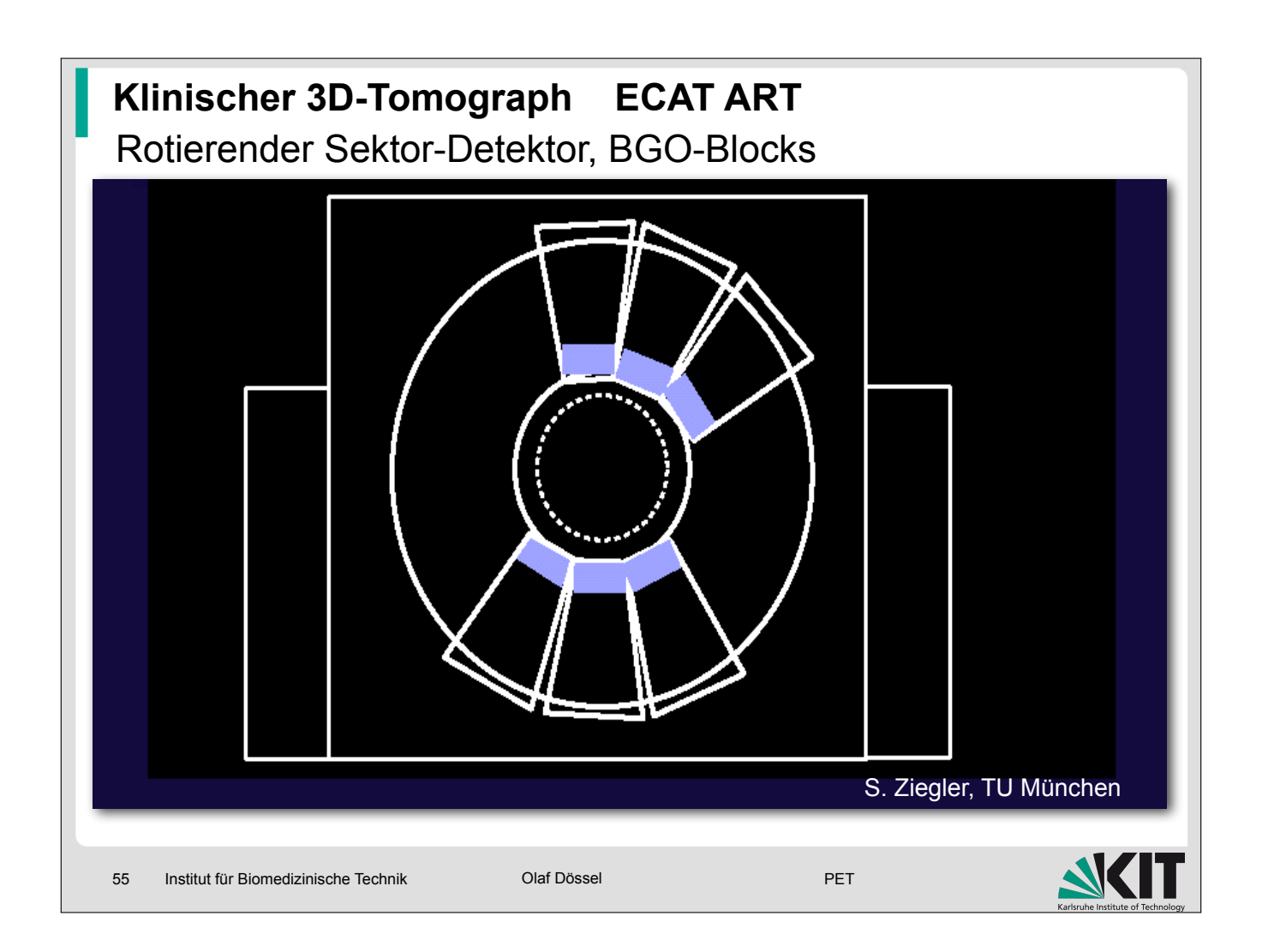
$$y = \frac{(A+B) - (C+D)}{(A+B+C+D)}$$

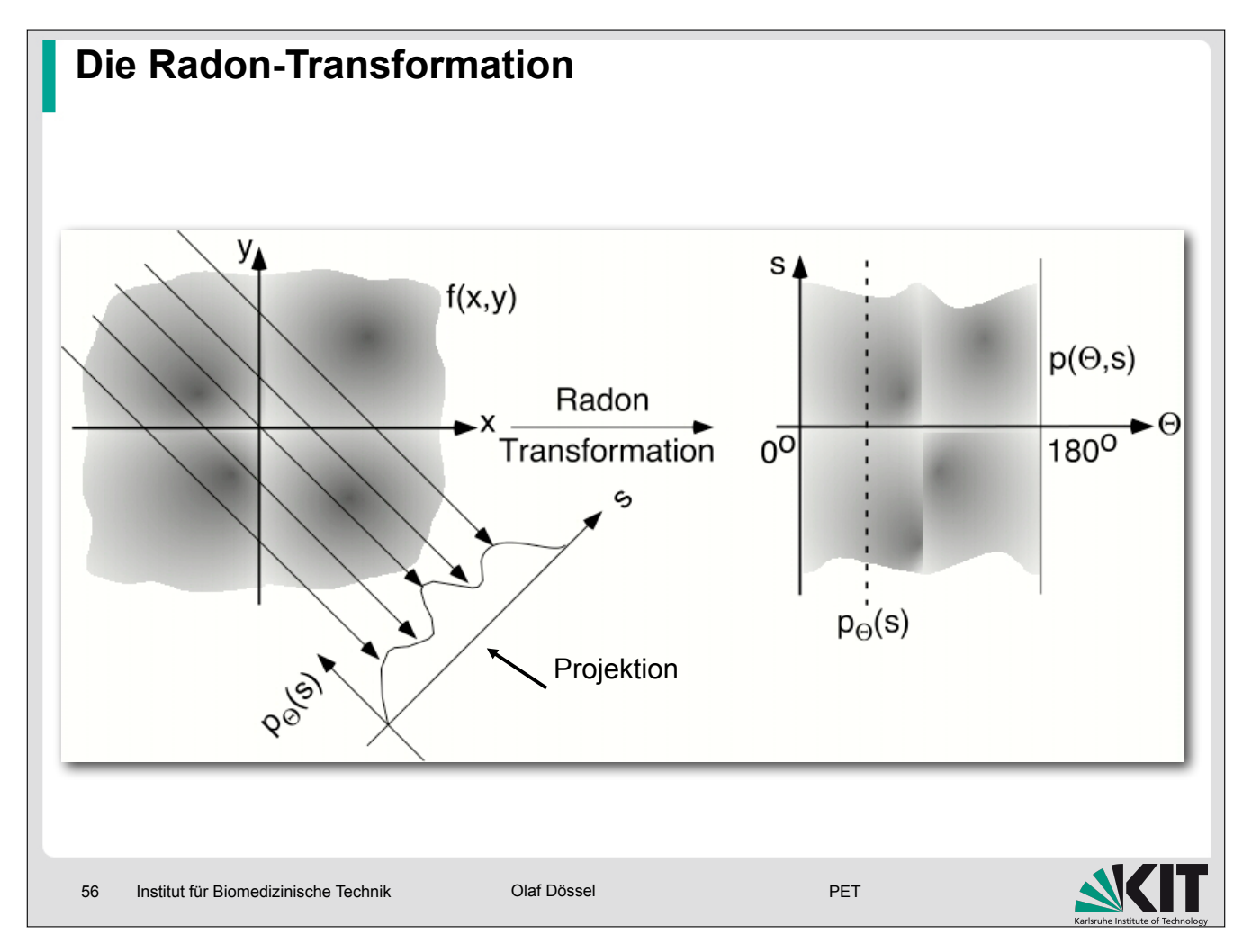
S. Ziegler, TU München

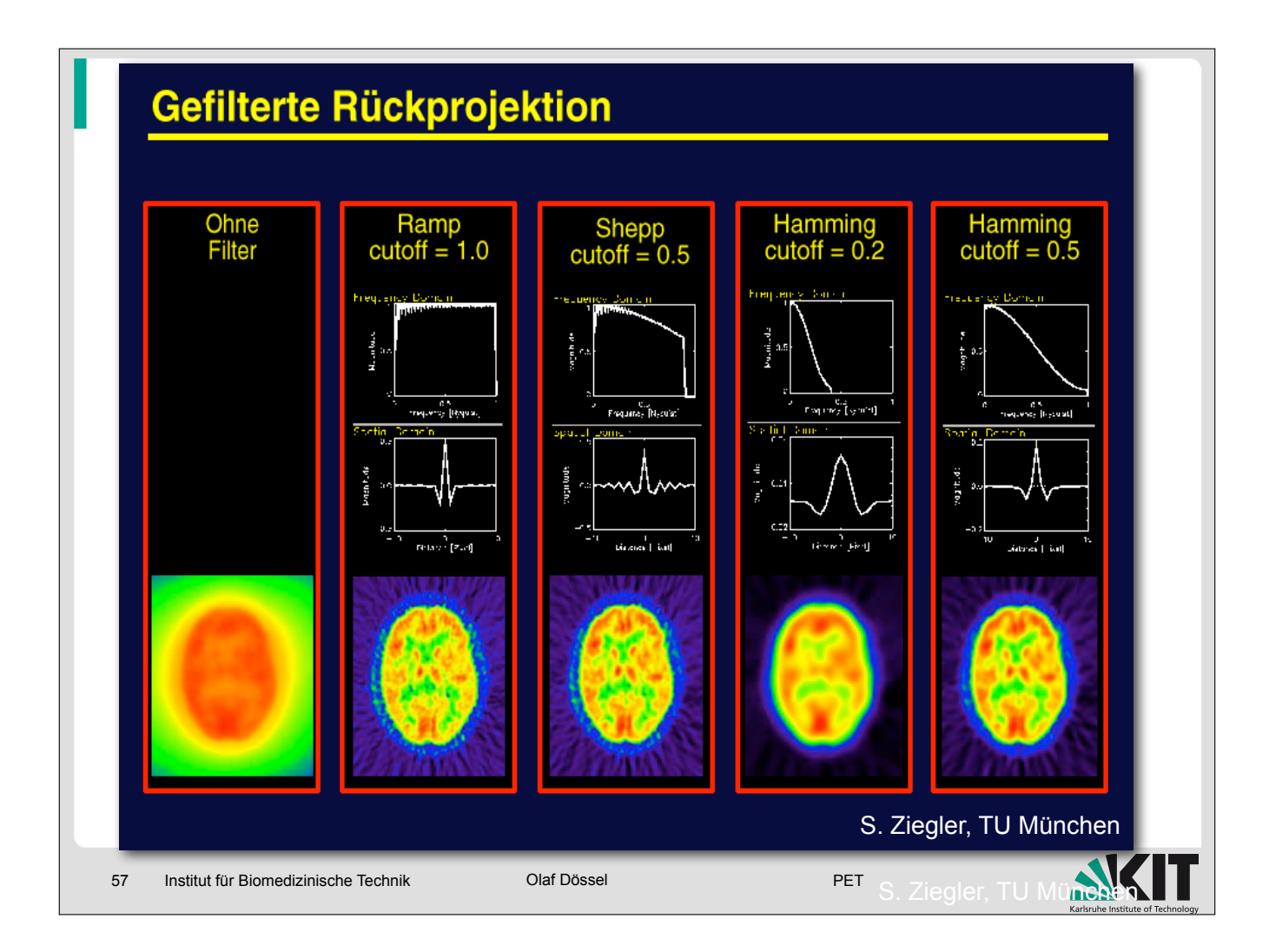
Karlsruhe Institute of Technology











Auflösung der PET

Wesentliche Einflussgrößen:

- mittlere freie Weglänge der Positronen (einige mm)
- Halbwertsbreite der Winkelverteilung (180° ± 0,3°)
- Genauigkeit, mit der ein Gamma-Quant im Detektorring lokalisiert wird



Typische Auflösung heute 3mm - 5 mm



Abbildungsfehler

- Linienintegrale von Ereignissen, die nicht durch das Zentrum gehen, werden immer breiter
- zufällige Koinzidenzen
- Nachweis gestreuter Quanten
- Absorption

59 Institut für Biomedizinische Technik

Institut für Biomedizinische Technik

Olaf Dössel

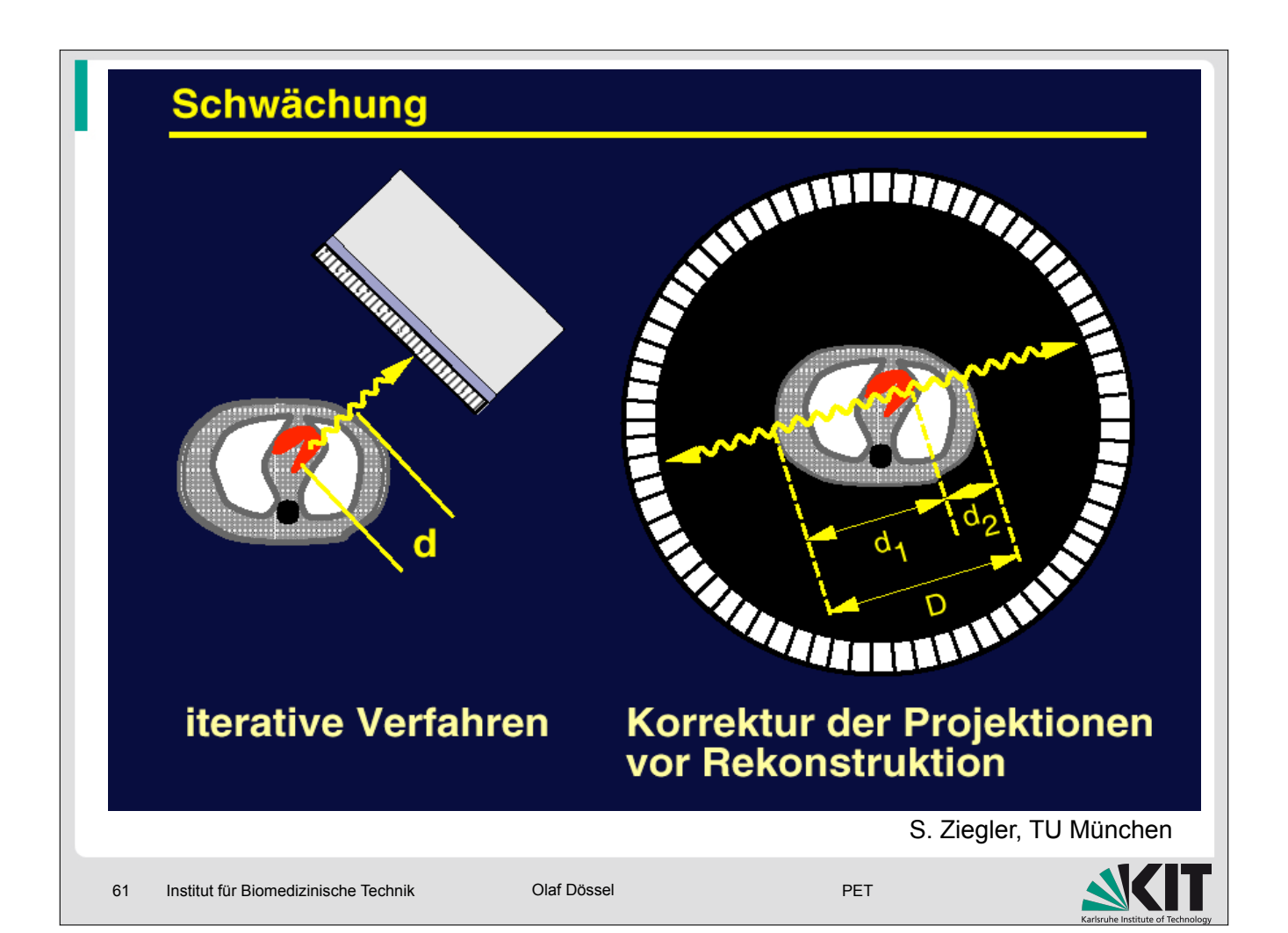
PET

PET



Echte, gestreute und zufällige Koinzidenzen echte, gestreute, zufällige Koinzidenzen Schwächung 2τ ≅ 10 ns

Olaf Dössel

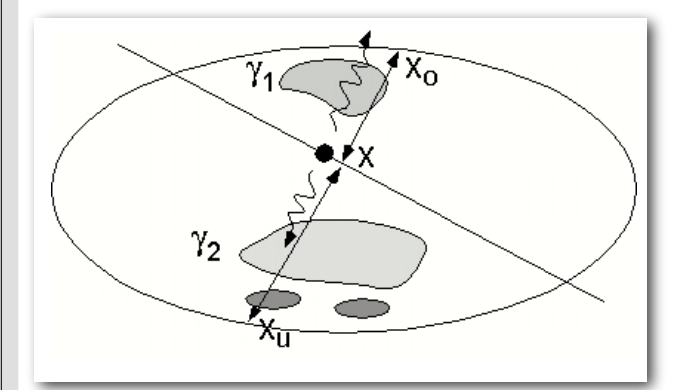


Absorptionskorrektur bei der PET

$$W_1 = k_1 \cdot e^{-\int\limits_{x}^{x_0} \mu(x) dx}$$

$$W_2 = k_2 \cdot e^{-\int\limits_{x_u}^{x} \mu(x) dx}$$

k = Proportionalitätsfaktor μ = Schwächungskoeffizient

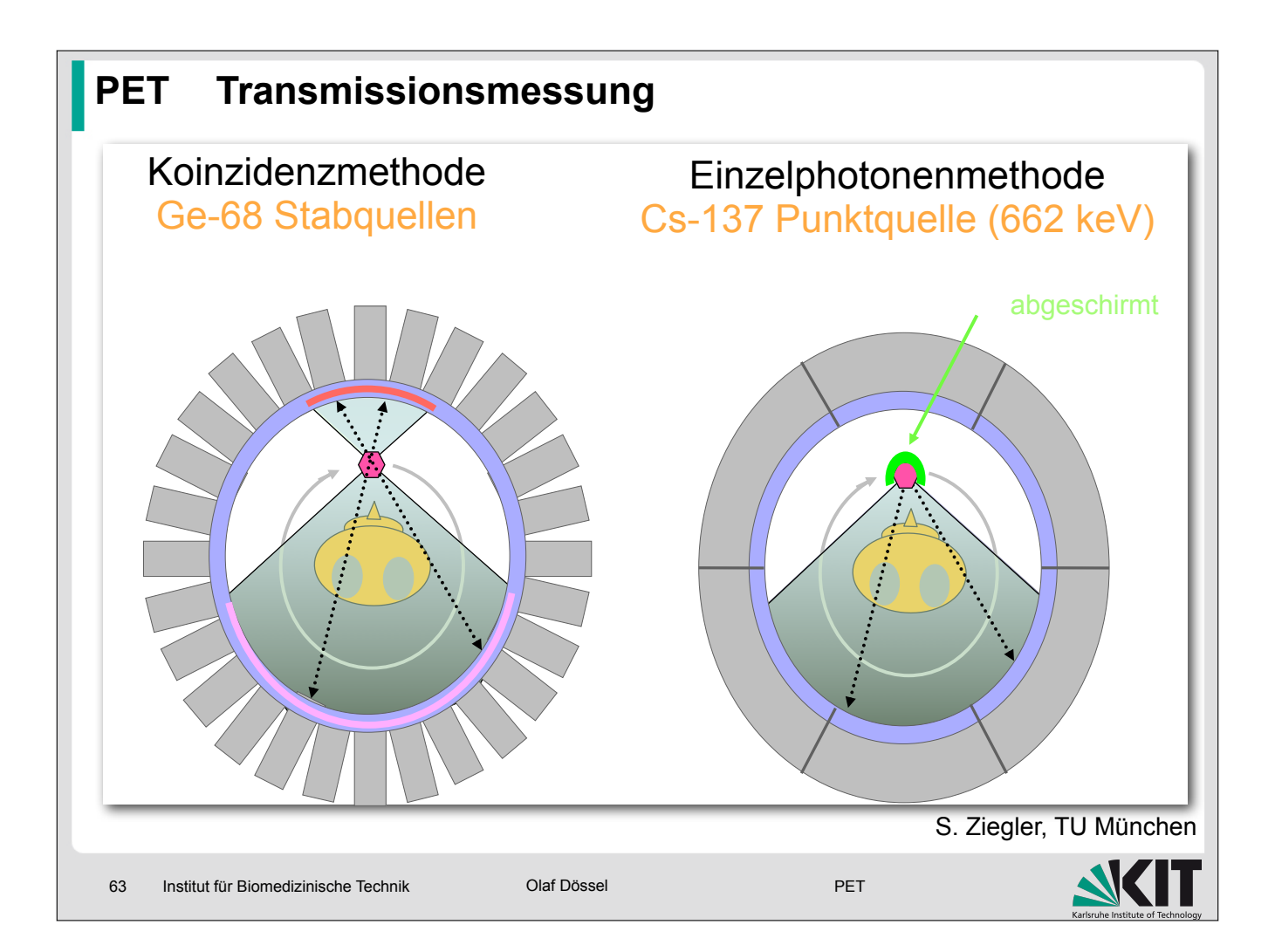


$$W_{ges} = W_1 \cdot W_2 = k_1 \cdot k_2 \cdot e^{-\int\limits_{x_u}^{x_o} \mu(x) dx}$$

Transmissionsmessung liefert:

$$\int_{x_{11}}^{x_{0}} \mu(x) dx = \ln \frac{J_{0}}{J}$$

Sarlsruhe Institute of Technology

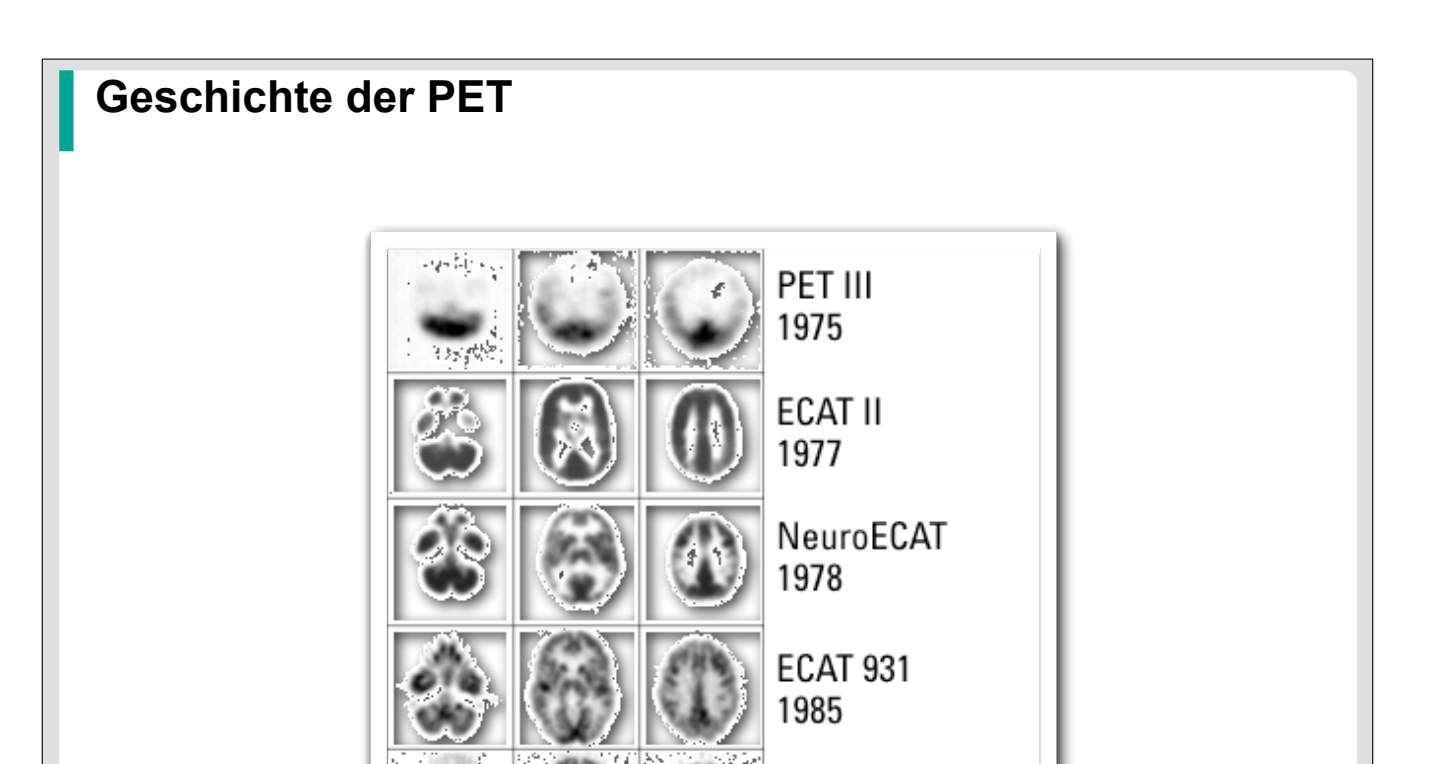


Anwendungen der PET

Onkologie	Tumorlokalisierung, Tumorwachstumsraten, Metastasierung, Verlaufskontrolle bei der Therapie.
Neurologie	Epilepsiediagnostik, Alzheimerdiagnostik, Schlaganfall/Ischämie, funktionelle Bildgebung.
Kardiologie	Durchblutung und Stoffwechsel in Myokard, Ischämie, Infarktdiagnostik (Vitalitätsstudien).
Pharmaforschung	Aufklärung der Wirkungsweise von Medikamenten, Entwicklung neuer Medikamente.



PET



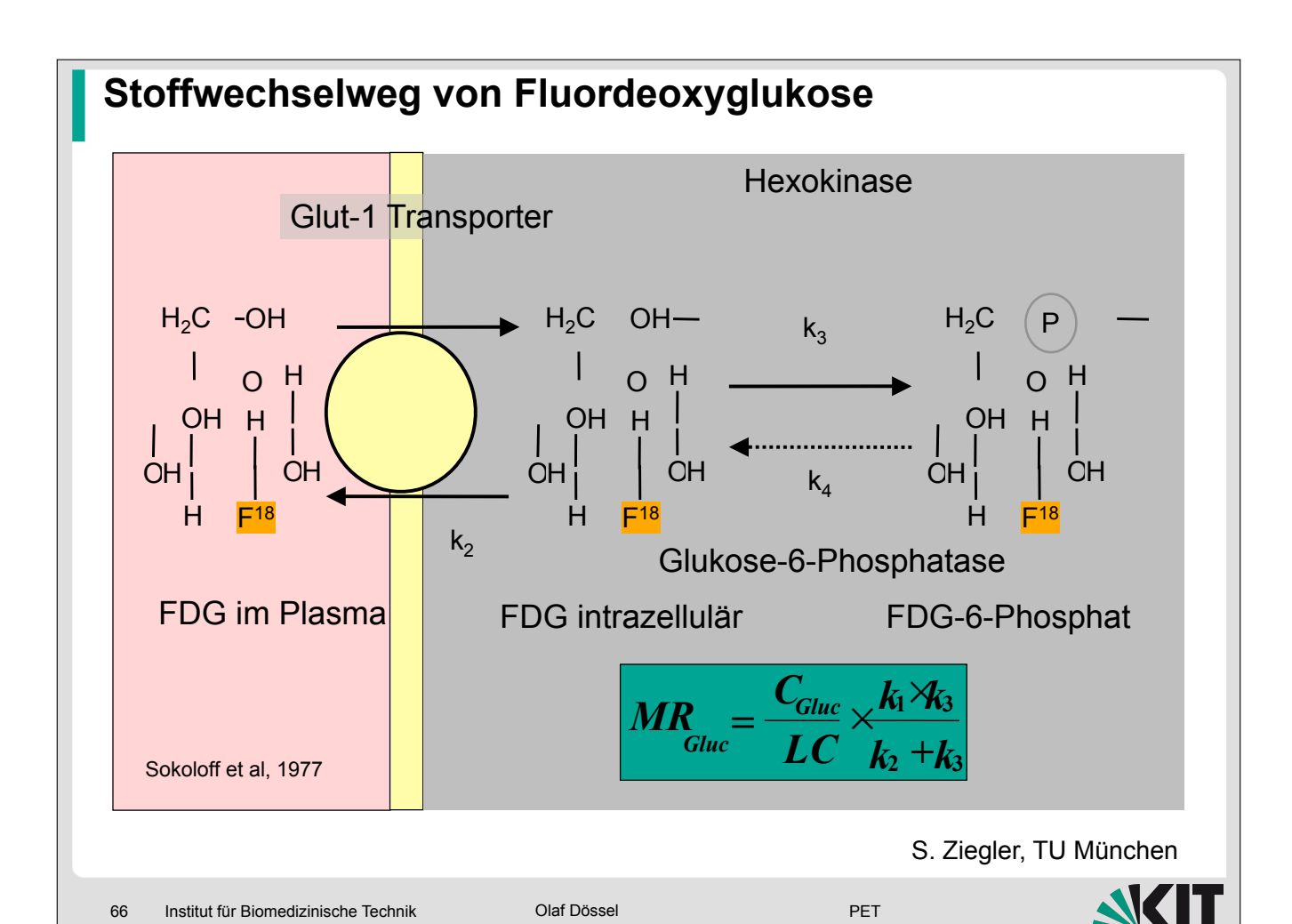
65 Institut für Biomedizinische Technik

Olaf Dössel

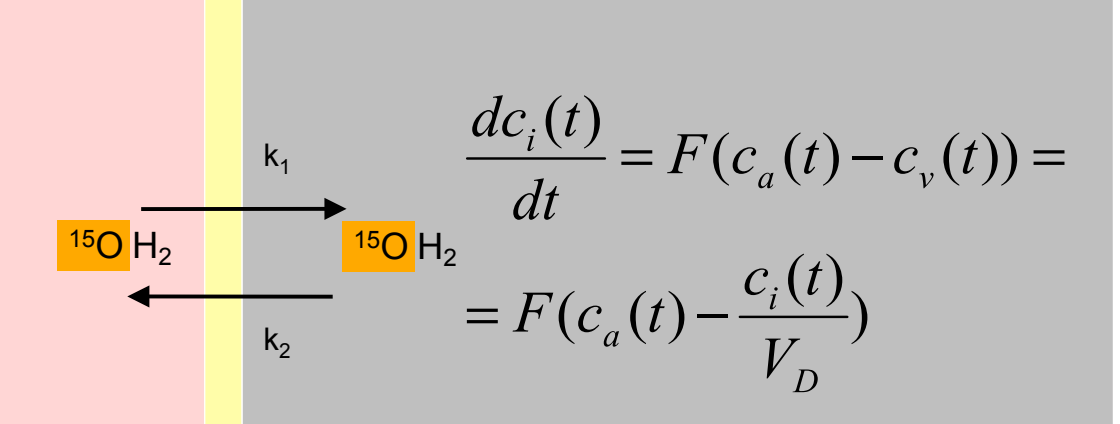
ECAT EXACT HR+

PET

1995







 $F (ml/min/g) = k_1$

Wasser im Plasma (c_a)

Wasser intrazellulär oder im Extrazellarraum (c_i)

S. Ziegler, TU München

67

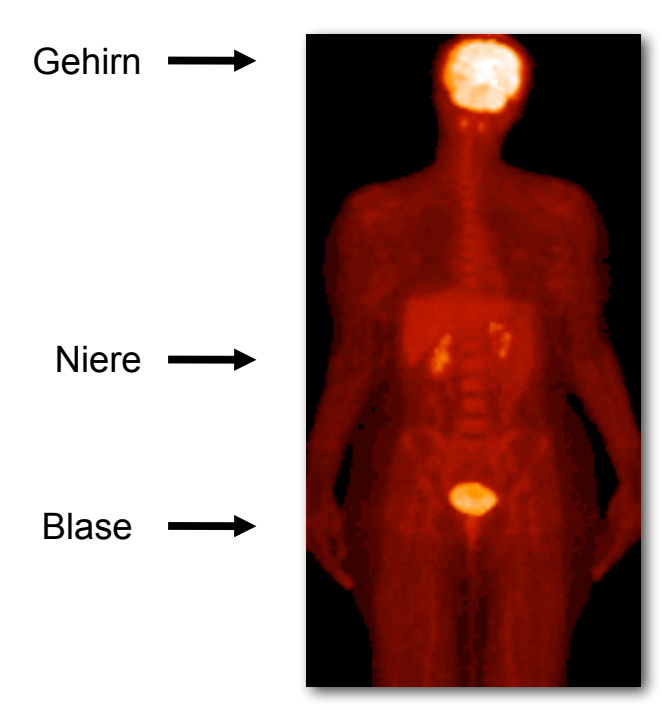
Institut für Biomedizinische Technik

Olaf Dössel

PET

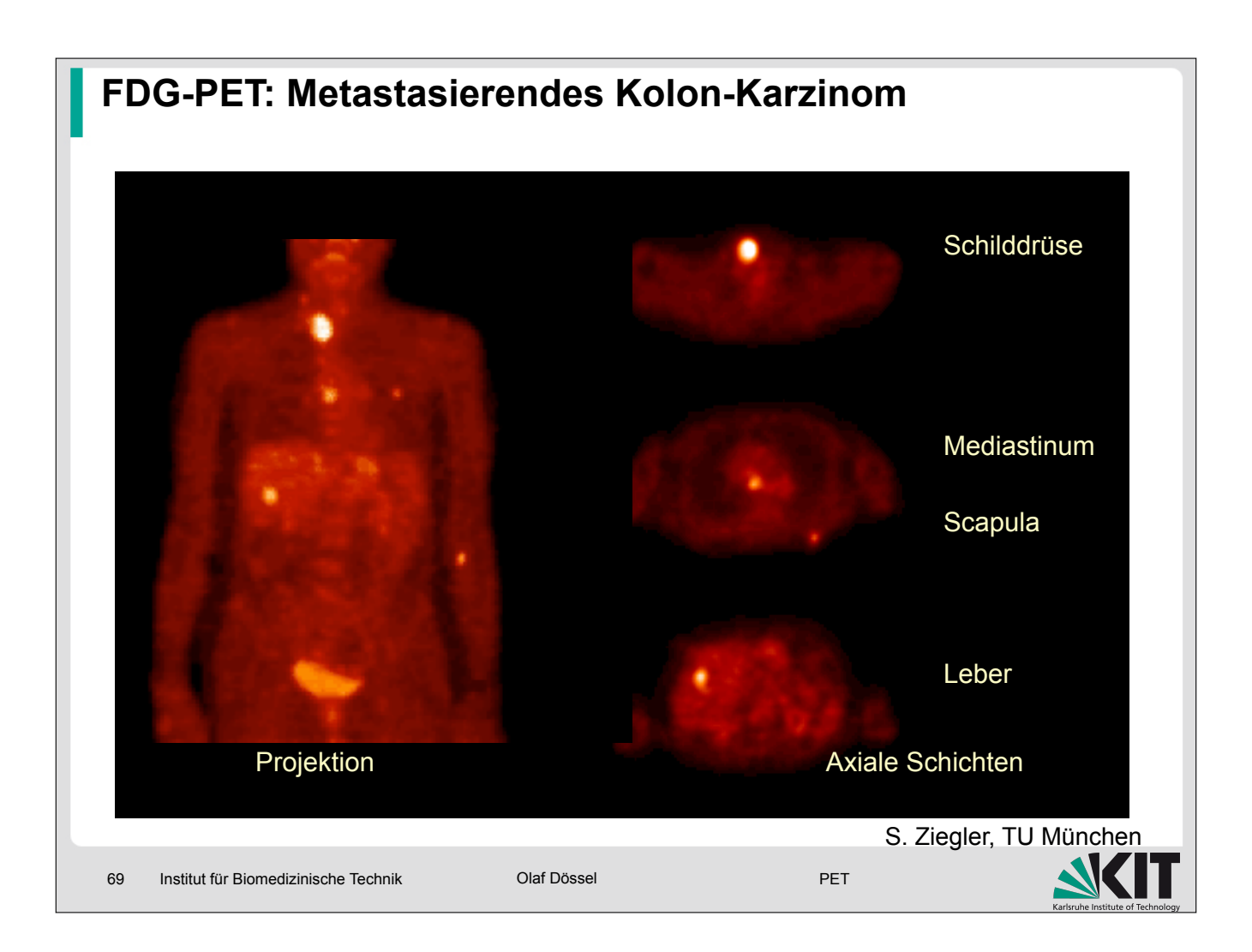
Typische PET Untersuchung

Gesunde Person

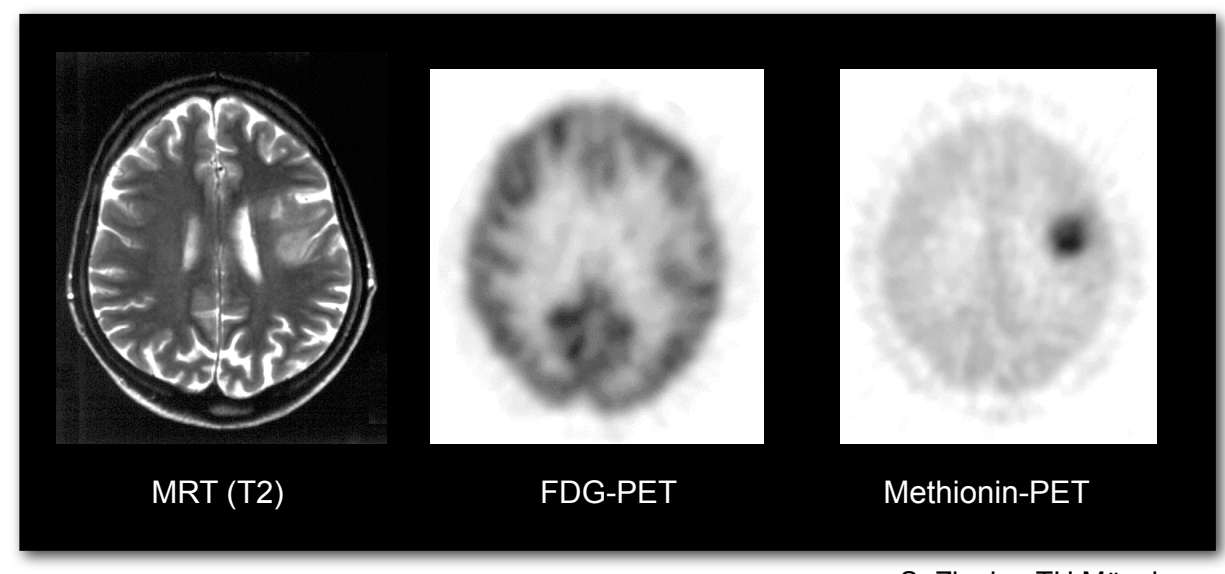


S. Ziegler, TU München

SOLUTION

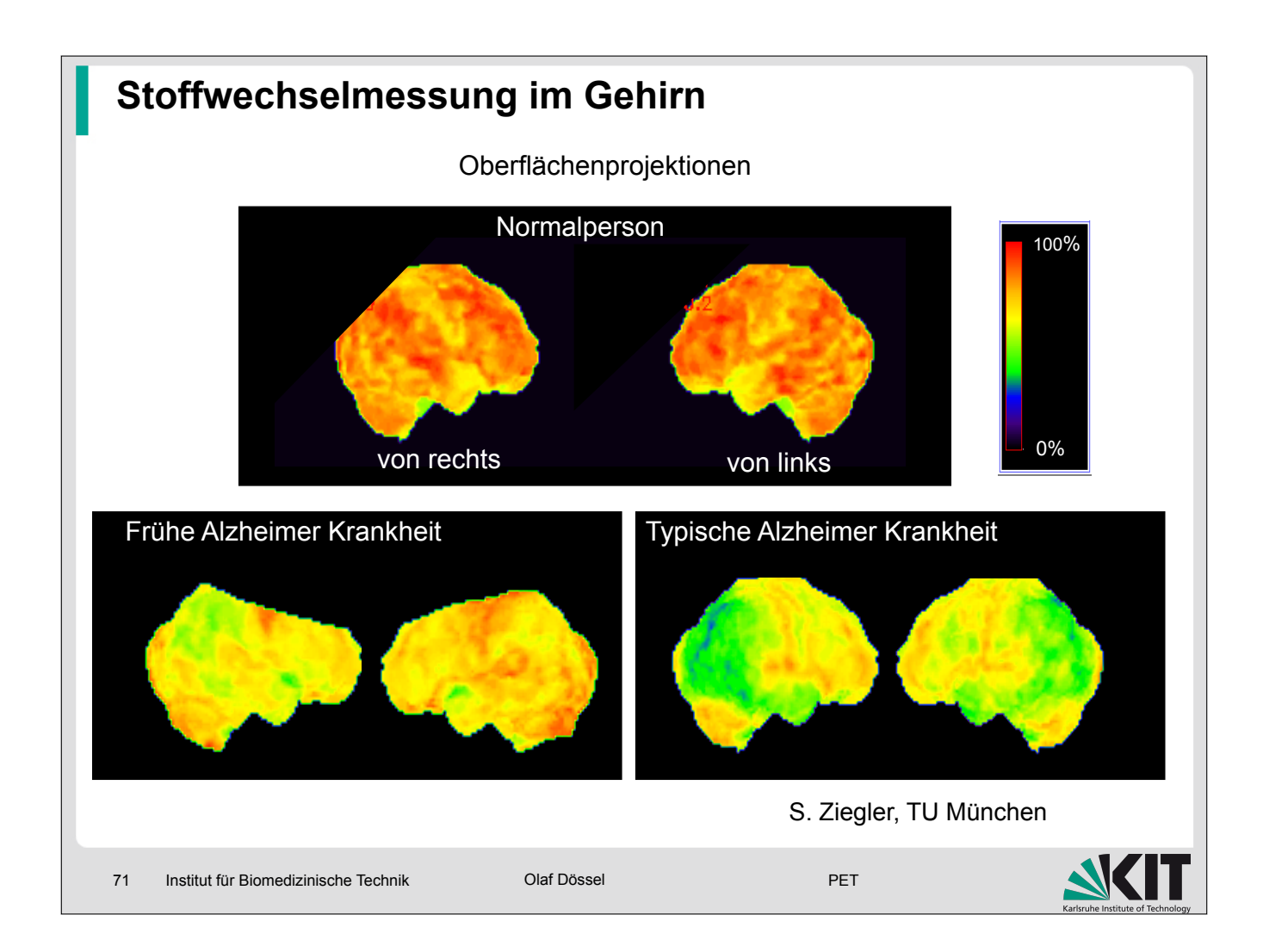


PET mit Methionin Aminosäurestoffwechsel Rezidiv eines Astrozytoms °III

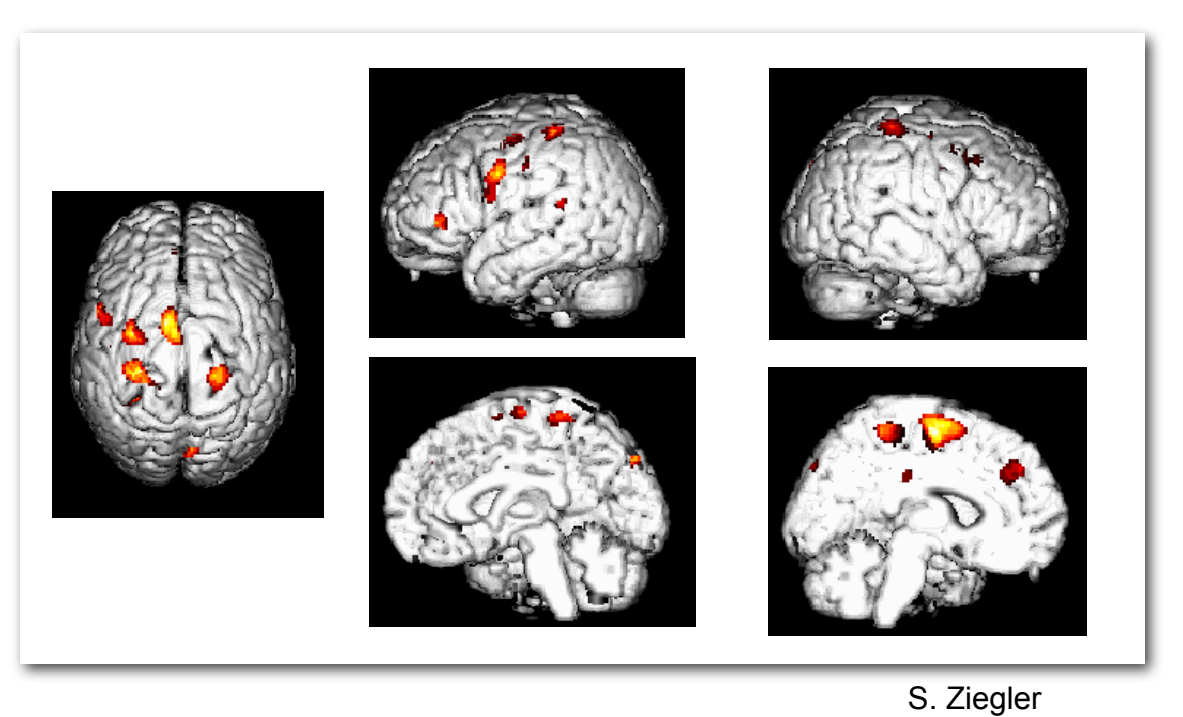


S. Ziegler, TU München



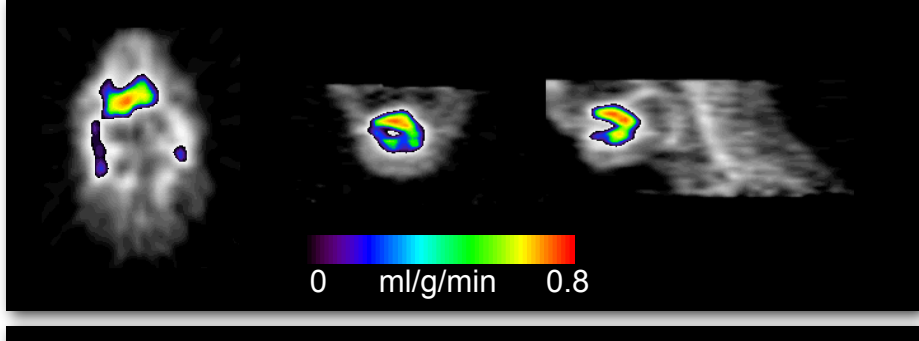


Blutflußmessung im Gehirn Aktivierung durch Juckreiz

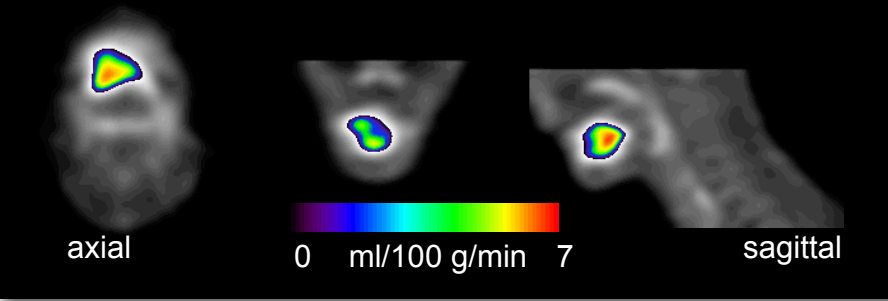




Mundbodenkarzinom Blutfluß und Glukosemetabolismus



Fluß (O-15 Wasser)



Metabolismus

(K_j F-18-FDG)

S. Ziegler, TU München

73 Institut für Biomedizinische Technik

Olaf Dössel

PET



PET/CT





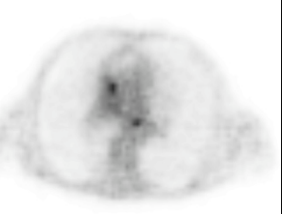
Kombination PET - CT

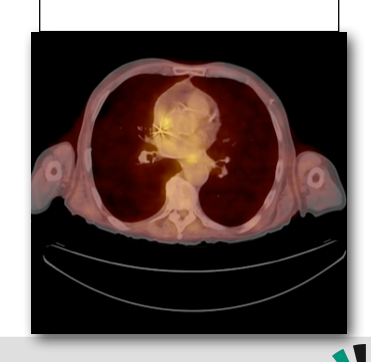
- -Funktionelle (PET) und anatomische (CT) Information
- -Hohe Genauigkeit der Koregistrierung
- -CT-basierte Schwächungskorrektur
- ▶ Skalieren von HU zu μ (511keV)
- -Quantitative Daten (SUV)
- S. Ziegler, TU München

Institut für Biomedizinische Technik

Olaf Dössel







PET

Karlsruh

Kleintier-PET

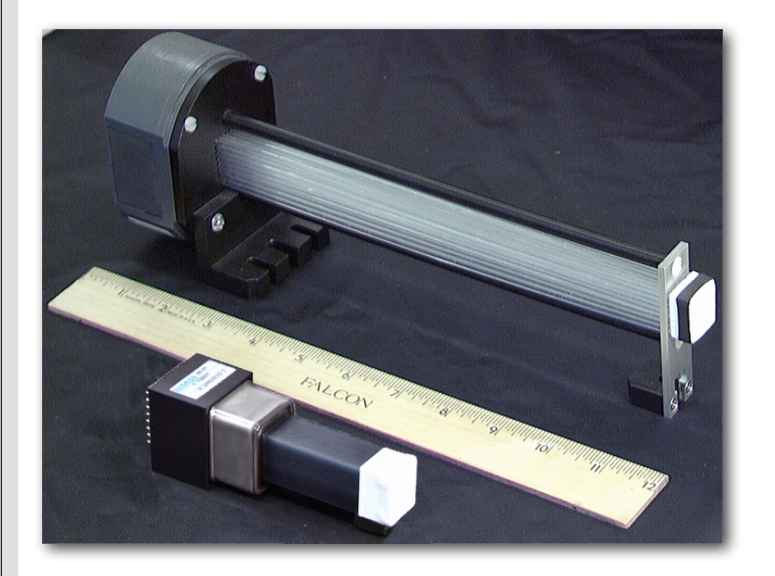
- C-11, F-18 Tracer
- Messung der zeitlichen Veränderung in einem Tier
- Wiederholte Messungen im gleichen Tier

Größe >>> Ortsauflösung: 1-2 mm Empfindlichkeit: hoch (>2%)

S. Ziegler, TU München



microPET II Detector Module



14 x 14 array of 0.95 x 0.95 x 12.5 mm LSO elements

white polyurethane grid with 1.15 mm spacing

5 cm long fiber bundle

Hamamatsu H7546 PMT



Crump Institute for Molecular Imaging

Lichtsensoren für Kleintier-PET



Photomultiplier

MADPET

Avalanche Photodiodes





Hamamatsu Photonics

1 cm ⋅---

S. Ziegler, TU München



